

DAFTAR PUSTAKA

- Annels, A. E. 1991. *Mineral Deposit Evaluation - A Practical Approach*. UK: Chapman and Hall, pp. 436.
- Arif, I. 2018. *Nikel Indonesia*. Bandung: Institut Teknologi Bandung. hal 8-26.
- Arif, A. K. D., & Djainal, H. (2019). *Estimasi Sumber Daya Nikel Menggunakan Metode Idw (Inverse Distance Weighting) Di Site Sepo Pt. Bakti Pertiwi Nusantara Provinsi Maluku Utara*. *Dintek*, 12(2), 76-82.
- Arifin, M. 2015. *Karakteristik Endapan Nikel Laterit Pada Blok X Pt. Bintangdelapan Mineral Kecamatan Bahodopi Kabupaten Morowali Provinsi Sulawesi Tengah*. *Jurnal Geomine*, 1(1).
- Brand, N. W., Butt, C. R. M., Elias, M. 1998. Nickel laterites: Classification and Features. *AGSO Journal of Australian Geology and Geophysics*. 17(4). pp 73-92.
- Dominy, S. Noppe, M.A., Annels, A. E., 2002. *Errors and Uncertainty in Mineral Resource and Ore Reserve Estimation: The Importance of Getting it Right*. *Expl. Mining Geol.*, Vol. 11, Nos. 1-4, pp. 77-98.
- Golightly, J. P. 1981. *Nickeliferous Laterite Deposits: Economic Geology*. 75, pp. 710-735.
- Hartman, H. L., 1992. *SME Mining Engineering Handbook, 2nd Edition, Volume 1, Society for Mining, Metallurgy, and Exploration, Inc. Littleton: Colorado*.
- Haldar, S. K. 2018. *Mineral Exploration Principles and Applications, Second Edition*. Presidency University: Kolkata. pp 145-146.
- Hernandi, D., Rosana M.F., Haryanto A.d., 2017. *Domain Geologi Sebagai Dasar Pemodelan Estimasi Sumberdaya Nikel Laterit Perbukitan Zahwah, Sorowako, Kabupaten Luwu Timur, Provinsi Sulawesi Selatan*. *Bulletin of Scientific Contribution*, Volume 15, No. 2, Agustus 2017 : 111-122
- Idrus, A., Titisari, A., D., Wardana, I., W., dan Setijadji, L., D., 2007. *Diktat Mata Kuliah Eksplorasi Sumberdaya Mineral*. UGM: Yogyakarta
- KCMI, 2017. *Kode Pelaporan Hasil Eksplorasi, Sumberdaya Mineral dan Cadangan Bijih*. Jakarta. hal. 30-34.
- Kurnianto, A., Setiahiwibowo, A. P., & Giamboro, W. S. (2019). *Estimasi Sumberdaya Batubara Menggunakan Metode Nearest Neighbour Point, Inverse Distance Weighting, Dan Kriging Pada Daerah Muara Bungo, Sumatera Selatan*. *Jurnal Geoceles*, 3(2), 75-82.

- Mustika, R. (2015). *Estimasi Sumberdaya Nikel Laterit Dengan Metode Inverse Distance Weighting (Idw) Pada PT. Vale Indonesia, Tbk. Kecamatan Nuha Provinsi Sulawesi Selatan. Jurnal Geomine, 1(1).*
- Notosiswoy, S., 2000, *Teknik Eksplorasi*, Jurusan Teknik Petambangan, Fakultas Ilmu Kebumihan Dan Teknologi Mineral ITB, Bandung
- Puspita, R., Ninasafitri, N., & Ente, M. R. (2022). *Karakteristik Batuan Ultramafik dan Penyebaran Nikel Laterit pada Daerah Siuna Kecamatan Pagimana Kabupaten Banggai, Sulawesi Tengah. Jurnal Geocelebes, 93-107.*
- Rafsanjani, M. R., Djamaluddin., Bakri, H. 2016. Estimasi Sumberdaya Bijih Nikel Laterit dengan Menggunakan Metode IDW di Provinsi Sulawesi Tenggara. *Jurnal Geomine, Vol. 4, pp. 19-22.*
- Rossi. ME, and Clayton V. Deutsch. 2014. *Mineral Resources Estimation*. Springer Dordrecht Heidelberg. New York, London.
- Zibuka, M. I. (2016). *Estimasi Sumberdaya Nikel Laterit Dengan Membandingkan Metode Nearest Neighbour Point Dan Inverse Distance Weighting. Jurnal Geomine, 4(1).*

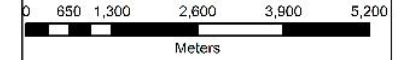
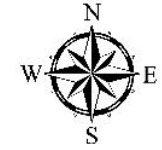
LAMPIRAN

LAMPIRAN A
PETA LOKASI PENELITIAN

121°20'0"E

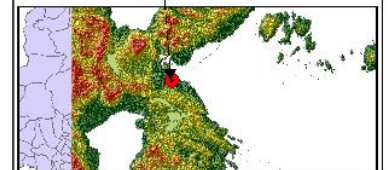
121°30'0"E

PETA SEBARAN DATA PENELITIAN



LEGEND

- LOKASI PENELITIAN
- BATAS KECAMATAN
- LAUT



DEPERTEMEN TEKNIK PERTAMBANGAN
FAKULTAS TEKNIK
UNIVERSITAS HASANUDDIN



PT. BUKIT MAKMUR ISTINDO
NIKELTAMA

SKRIPSI
ESTIMASI SUMBERDAYA ENDAPAN NIKEL LATERIT
DENGAN METODE INVERSE DISTANDE WEIGHT
DAN NEAREST NEIGHTBOUR POINT

PEMBIMBING	Dr. Phil.nat. SRI WIDODO, S.T. M.T. NIP. 19730314 200012 1 001
	ASRAN ILYAS, S.T.,M.T., Ph.D. NIP. 19730314 200012 1 001

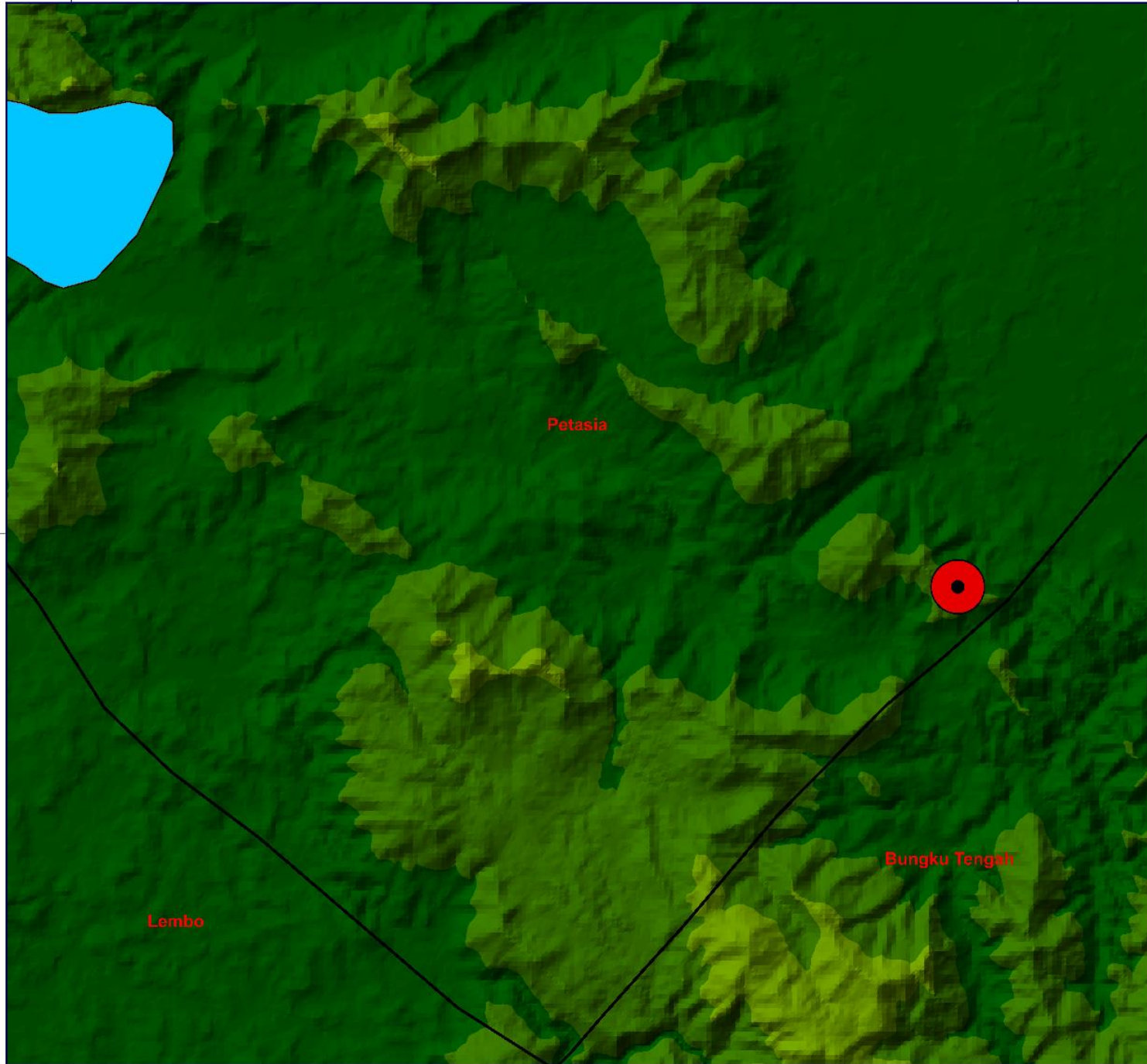
MODIFIKASI	LERIANTI LIMBONG RARA NIM D111 18 1311 LAB. EKSPLORASI MINERAL.
------------	---

2°10'0"S

2°10'0"S

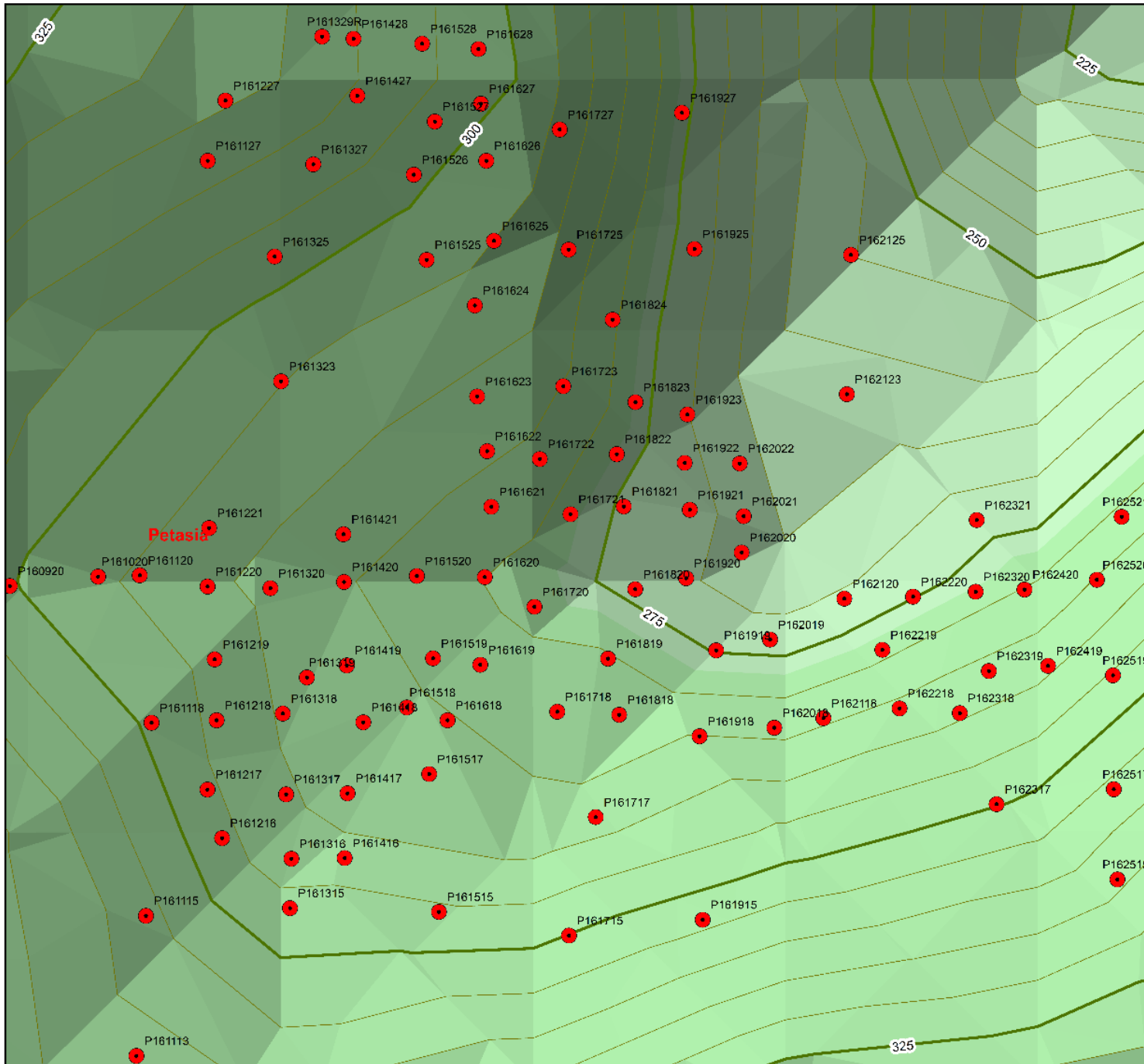
121°20'0"E

121°30'0"E

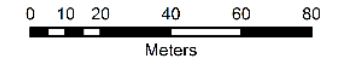
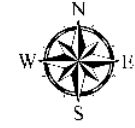


LAMPIRAN B
PETA SEBARAN TITIK BOR

LAMPIRAN C
PETA TOPOGRAFI

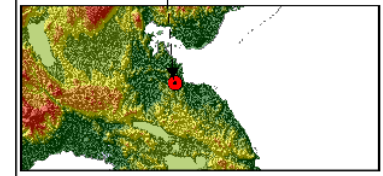
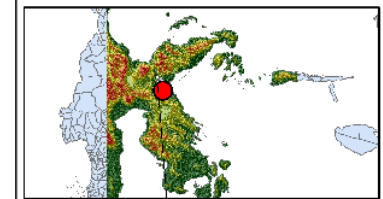


PETA TOPOGRAFI DAERAH PENELITIAN



LEGEND

- TITIK BOR
- KONTUR
- INDEKS KONTUR
- ELEVASI 0-275 m
- ELEVASI 275-400 m



DEPERTEMEN TEKNIK PERTAMBANGAN
FAKULTAS TEKNIK
UNIVERSITAS HASANUDDIN

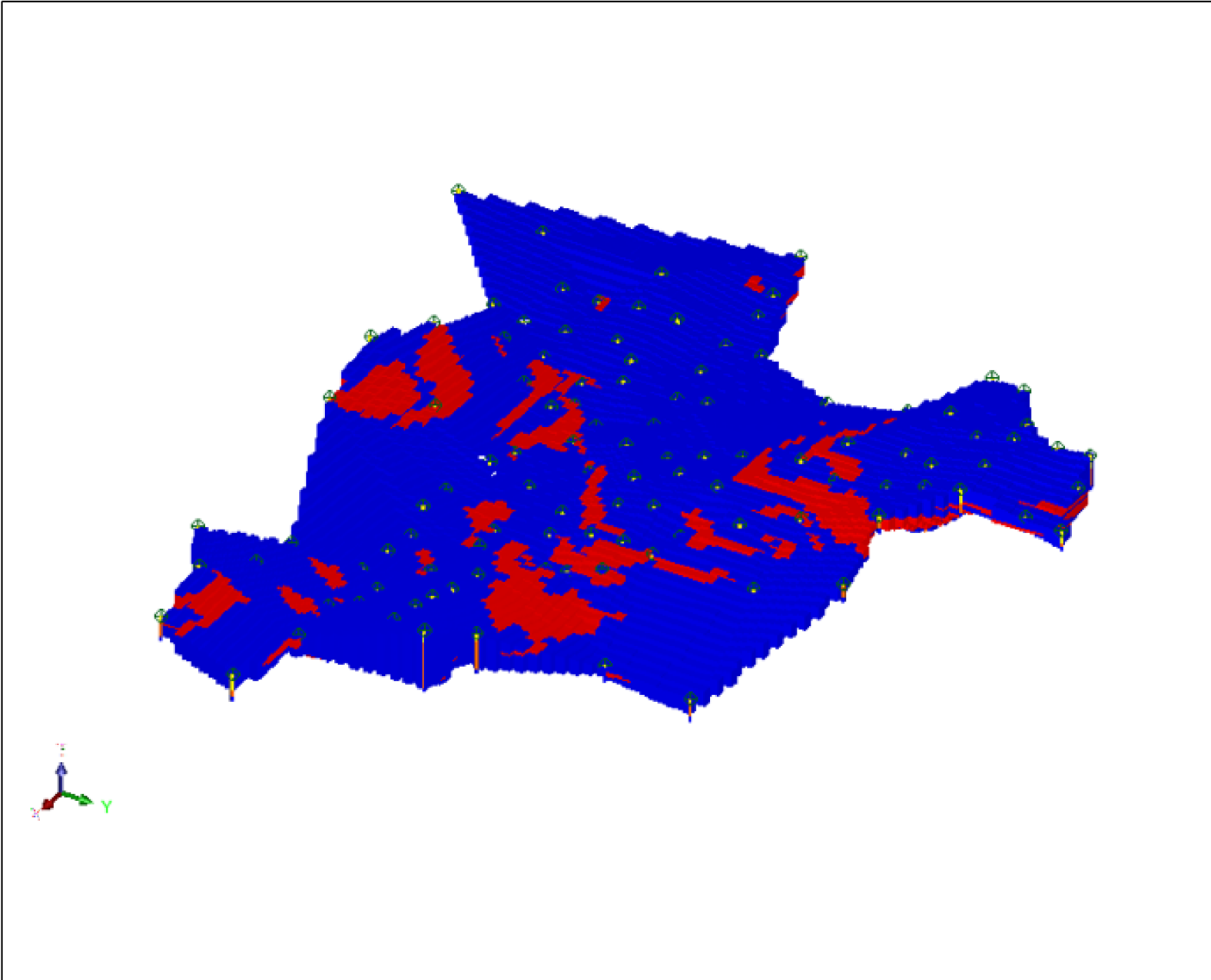


PT. BUKIT MAKMUR ISTINDO
NIKELTAMA

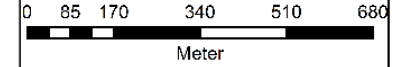
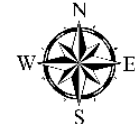
SKRIPSI
ESTIMASI SUMBERDAYA ENDAPAN NIKEL LATERIT
DENGAN METODE INVERSE DISTANDE WEIGHT
DAN NEAREST NEIGHTBOUR POINT

PEMBIMBING	Dr. Phil.nat. SRI WIDODO, S.T. M.T. NIP 19730314 200012 1 001
	ASRAN ILYAS, S.T.,M.T.,Ph.D. NIP 19730314 200012 1 001
MODIFIKASI	LERIANTI LIMBONG RARA NIM D111 18 1311 LAB. EKSPLORASI MINERAL

LAMPIRAN D
***BLOCK MODEL* ESTIMASI DENGAN**
METODE IDW

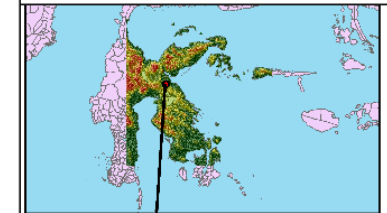


BLOK MODEL ESTIMASI METODE IDW



LEGEND

- ORE
- WASTE
- LUBANG BOR



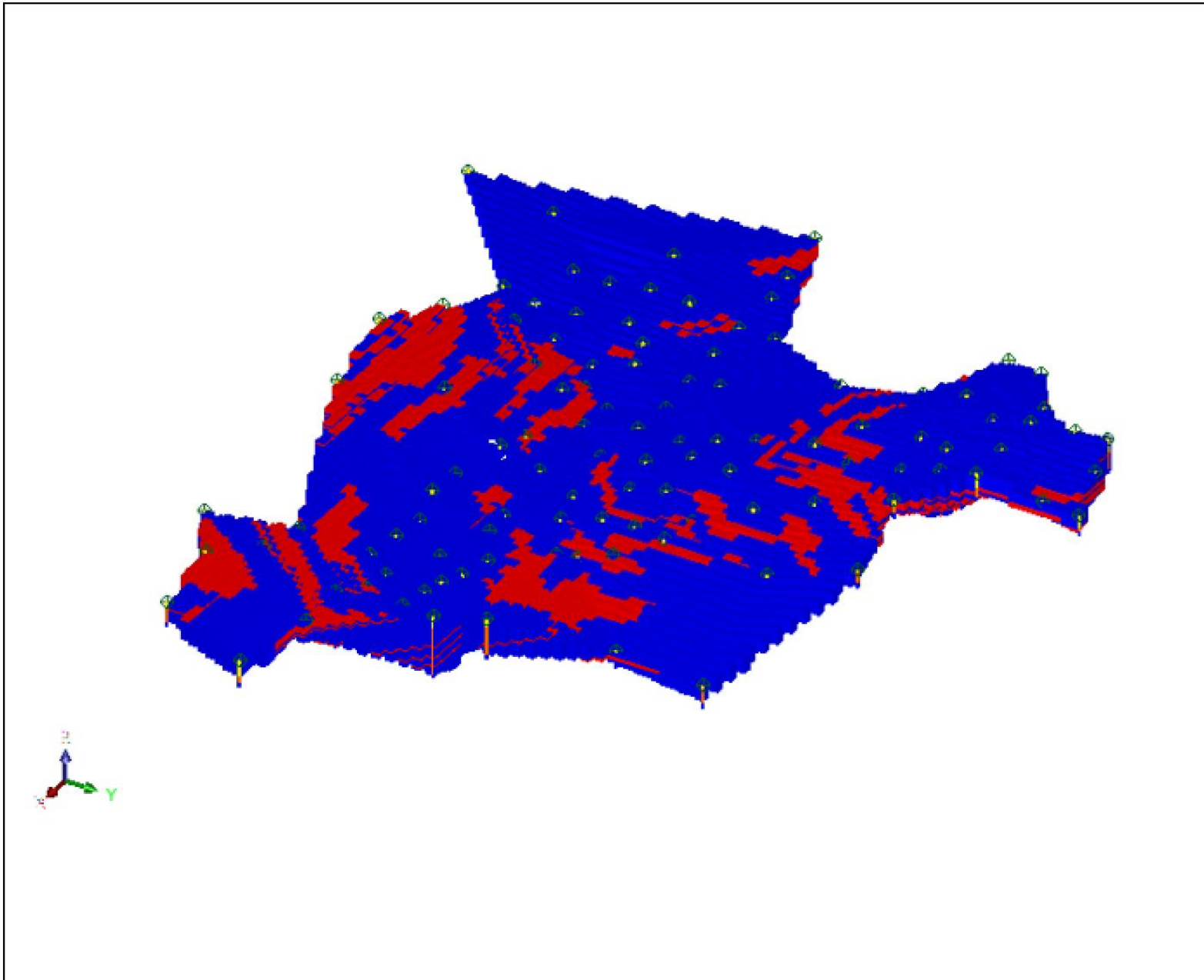
DEPERTEMEN TEKNIK PERTAMBANGAN
FAKULTAS TEKNIK
UNIVERSITAS HASANUDDIN

**PT BUKIT MAKMUR ISTINDO
NIKELTAMA**

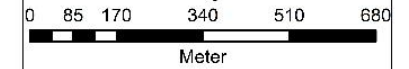
SKRIPSI
ESTIMASI SUMBERDAYA TERUKUR ENDAPAN NIKEL LATERIT
DENGAN METODE INVERSE DISTANCE WEITHING DAN
NEAREST NEIGHBOUR POINT

PEMBIMBING	Dr. Phil.nat. SRI WIDODO, S.T.,M.T NIP 19730314 200012 1 001
	ASRAN ILYAS, S.T.M.T, Ph.D, NIP 19730314 200012 1 001
MODIFIKASI	LERIANTI LIMBONG RARA NIM D111 18 1311 LAB. EKSPLORASI MINERAL

LAMPIRAN E
***BLOCK MODEL* ESTIMASI DENGAN**
METODE NNP

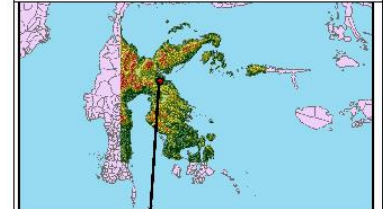


BLOK MODEL ESTIMASI METODE NNP



LEGEND

- ORE
- WASTE
- LUBANG BOR



DEPERTEMEN TEKNIK PERTAMBANGAN
FAKULTAS TEKNIK
UNIVERSITAS HASANUDDIN



**PT BUKIT MAKMUR ISTINDO
NIKELTAMA**

SKRIPSI
ESTIMASI SUMBERDAYA TERUKUR ENDAPAN NIKEL LATERIT
DENGAN METODE INVERSE DISTANCE WEITHING DAN
NEAREST NEIGHTBOUR POINT

PEMBIMBING	Dr. Philnat. SRI WIDODO, S.T.,M.T NIP. 19730314 200012 1 001 ASRAN ILYAS, S.T.,M.T.,Ph.D. NIP. 19730314 200012 1 001
MODIFIKASI	LERIANTI LIMBONG RARA NIM D111 18 1311 LAB. EKSPLORASI MINERAL

LAMPIRAN F
DATA *COLLAR*

LAMPIRAN F
DATA COLLAR

<i>Hole Id</i>	<i>Y</i>	<i>X</i>	<i>Z</i>	<i>Depth (m)</i>
P161915	9759203,258	331952,829	290,42	16
P161515	9759206,118	331855,94	285,098	21
P161715	9759197,48	331903,664	299,368	35
P161717	9759240,977	331913,561	277,231	7
P161919	9759302,216	331957,746	246,507	20
P162319	9759294,643	332057,948	261,652	26
P162519	9759293,04	332103,535	275,081	33
P162719	9759306,398	332153,918	288,596	12
P162521	9759351,258	332106,726	280,557	35
P162321	9759350,068	332053,474	250,577	23
P162317	9759245,689	332060,754	274,972	10
P162515	9759218,078	332105,182	299,398	10
P162125	9759447,498	332007,29	219,191	13.7
P162717	9759248,398	332154,833	311,719	15
P162917	9759253,218	332199,387	306,83	14
P162517	9759251,178	332103,842	288,055	19
P162123	9759396,288	332005,78	222,139	10
P162919	9759298,298	332204,669	289,454	15
P161925	9759449,668	331949,821	253,972	12
P161921	9759353,838	331948,131	255,249	20
P161923	9759388,878	331947,207	254,33	14
P161725	9759449,398	331903,562	271,083	15
P161723	9759399,248	331901,577	273,264	24
P161721	9759352,218	331904,248	265,224	21
P161527	9759496,466	331854,404	292,067	24
P161519	9759299,268	331853,751	252,35	25
P161727	9759493,504	331900,271	285,124	10
P161319	9759292,245	331807,411	264,746	21
P161927	9759499,704	331945,23	270,242	10
P161317	9759249,302	331799,813	263,909	19
P161525	9759445,669	331851,412	287,343	13
P161315	9759207,489	331801,217	268,051	10
P161517	9759256,775	331852,358	264,064	7
P161115	9759204,741	331748,306	281,493	6
P161113	9759153,265	331744,804	288,197	9
P161325	9759446,89	331795,571	277,645	10
P161323	9759401,02	331797,917	268,385	17
P161127	9759482,06	331770,982	294,848	18
P161327	9759480,76	331809,779	294,535	23
P161331	9759572,094	331825,343	306,158	20
P161329R	9759527,67	331813,015	304,089	22
P160920	9759325,828	331698,294	279,348	13

<i>Hole Id</i>	<i>Y</i>	<i>X</i>	<i>Z</i>	<i>Depth (m)</i>
P161020	9759329,299	331730,749	274,341	14
P161120	9759329,771	331746,028	270,036	10
P161220	9759325,637	331770,934	265,118	20
P161219	9759298,877	331773,547	272,699	28
P161118	9759275,612	331750,379	280,444	17
P161218	9759276,52	331774,269	273,281	14
P161318	9759279,015	331798,561	267,576	16
P161419	9759296,68	331822,107	261,317	22
P161418	9759275,751	331828,165	256,588	20
P161221	9759347,14	331771,533	265,653	12
P161518	9759281,225	331844,166	254,133	12
P161618	9759276,51	331859,075	259,494	23
P161619	9759296,911	331871,086	251,016	16
P161320	9759325,035	331794,049	261,474	21
P161718	9759279,643	331899,358	254,431	11
P161818	9759278,548	331922,148	260,551	15
P161421	9759344,844	331820,833	263,064	16
P161420	9759327,334	331821,06	260,434	14
P161918	9759270,645	331951,702	256,945	26
P161520	9759329,531	331847,808	259,639	14
P162018	9759273,772	331979,128	262,942	24
P161620	9759329,107	331872,771	260,977	18.5
P162118	9759277,28	331997,162	256,148	26
P161621	9759354,947	331875,134	261,879	16
P161720	9759318,224	331890,973	250,952	13
P162019	9759306,188	331977,566	248,432	17
P161819	9759299,164	331918,101	250,281	20
P161227	9759504,137	331777,501	297,378	29
P161820	9759324,672	331928,076	248,345	13
P162219	9759302,395	332018,865	254,813	15
P162218	9759280,851	332025,135	263,35	15
P161920	9759328,701	331946,739	247,127	21
P161428	9759526,883	331824,58	301,258	16
P162318	9759279,153	332047,284	263,375	25
P162020	9759338,163	331967,128	240,237	21
P162419	9759296,528	332079,665	266,083	25
P162021	9759351,5	331967,895	242,863	16
P161528	9759525,069	331849,754	298,223	23
P161427	9759505,961	331825,974	296,86	21
P162520	9759328,132	332097,608	275,22	22
P162022	9759370,864	331966,434	249,592	14
P161922	9759371,087	331946,207	255,591	15
P161526	9759476,951	331846,692	288,498	22
P162420	9759324,536	332071,015	268,353	15

<i>Hole Id</i>	<i>Y</i>	<i>X</i>	<i>Z</i>	<i>Depth (m)</i>
P161822	9759374,291	331921,292	264,12	22
P162320	9759323,757	332053,12	264,279	22
P161821	9759355,062	331923,844	260,141	15
P161429	9759552,133	331824,209	303,938	22.5
P161722	9759372,5	331892,989	268,171	28
P162220	9759321,929	332030,079	256,126	20
P161625	9759452,659	331876,126	280,325	23
P161530	9759576,846	331844,927	299,2	14.5
P161624	9759428,886	331869,101	280,935	25
P161622	9759375,393	331873,604	268,315	25
P161630	9759582,758	331870,916	289,149	11
P162120	9759321,229	332004,864	250,411	21
P161623	9759395,475	331869,971	272,657	23
P161629	9759561,523	331871,122	290,8	9
P161823	9759393,364	331928,158	255,767	11
P161628	9759523,103	331870,451	294,478	15
P161824	9759423,655	331919,769	268,322	8
P161627	9759503,001	331871,333	290,042	26
P161417	9759249,702	331822,351	261,034	18
P161626	9759482,042	331873,296	284,531	13.5
P161416	9759225,904	331821,307	264,121	13.5
P161316	9759225,652	331801,736	263,055	8
P161216	9759233,217	331776,263	271,451	15
P161217	9759251,075	331770,913	267,013	8

LAMPIRAN G
DATA *ASSAY*

LAMPIRAN G

DATA ASSAY

<i>Hole Id</i>	<i>From (m)</i>	<i>To (m)</i>	Ni (%)	Fe (%)	SiO2 (%)	MgO (%)	Al ₂ O ₃ (%)	CaO (%)	Cr ₂ O ₃ (%)	Co (%)
P161915	0	0,5	1,28	39,34	15,26	3,48	4,31	0,07	2,28	0,16
P161915	0,5	1	0,45	8,26	34,47	30,17	2,11	1,67	0,55	0,07
P161915	1	2	1,8	22,57	23,32	11,26	2,69	0,61	1,26	0,03
P161915	2	2,5	1,96	8,12	38,52	27,96	1,73	0,34	0,52	0,05
P161915	2,5	3	2,1	17,19	32,75	17,01	2,54	0,91	1,19	0,03
P161915	3	4	2,04	13,59	35,13	21,47	1,88	0,77	0,95	0,03
P161915	4	4,5	1,52	8,48	34,31	25,27	1,88	0,9	0,56	0,05
P161915	4,5	5	2,06	18,83	32,31	16,49	2,12	0,34	0,9	0,02
P161915	5	6	1,91	20,1	33,45	14,77	2,02	0,24	1,06	0,02
P161915	6	7	1,14	23,87	33,36	7,44	2,25	0,28	1,03	0,02
P161915	7	8	1,31	26,32	27,53	6,93	3,61	0,86	1,29	0,03
P161915	8	9	1,23	20,23	31,62	9,55	3	1,61	0,97	0,02
P161915	9	10	0,88	15,89	36,08	13,03	2,57	0,44	0,89	0,03
P161915	10	11	1,1	10,84	43,23	28,73	2,23	0,02	0,66	0,04
P161915	11	12	0,91	8,47	42,26	29,48	2,09	0,12	0,51	0,06
P161915	12	13	0,31	8,94	41,88	24,76	2,52	1,43	0,53	0,06
P161915	13	14	0,37	7,98	36,68	26,25	1,9	1,23	0,43	0,07
P161915	14	15	0,27	7,34	43,43	30,61	1,52	0,01	0,35	0,07
P161915	15	16	0,3	6,96	43,39	29,97	1,51	0,01	0,16	0,07
P161515	0	1	1,208	47,457	3,578	1,908	5,851	0,01	2,196	0,098
P161515	1	2	1,4	49,259	2,166	1,356	5,628	0,01	2,332	0,164
P161515	2	2,5	1,335	47,856	1,973	1,292	5,022	0,01	2,376	0,136
P161515	2,5	3	1,404	46,233	4,412	2,264	5,496	0,207	2,286	0,116
P161515	3	3,5	1,563	39,751	9,325	4,23	5,312	1,063	2,03	0,075
P161515	3,5	4	1,203	11,897	33,711	21,911	2,681	1,225	0,805	0,042
P161515	4	5	1,466	10,915	36,365	23,026	2,268	0,811	0,648	0,038
P161515	5	6	1,487	12,156	39,913	23,779	2,584	1,177	0,919	0,038
P161515	6	7	0,956	10,597	38,028	24,677	2,437	1,272	0,645	0,046
P161515	7	8	1,059	11,928	40,454	23,804	2,371	0,854	0,75	0,042
P161515	8	9	1,179	13,3	41,171	23,481	1,763	0,273	0,743	0,036
P161515	9	10	0,466	7,648	35,326	28,563	1,703	0,257	0,392	0,067
P161515	10	11	0,575	9,176	40,884	29,312	1,49	0,03	0,521	0,057
P161515	11	12	0,569	9,837	42,487	29,372	1,45	0,01	0,536	0,054
P161515	12	13	0,553	9,154	42,078	30,207	1,44	0,014	0,551	0,057
P161515	13	14	0,41	8,968	41,916	28,505	1,835	0,452	0,584	0,061
P161515	14	15	1,929	12,04	41,813	23,328	1,709	0,337	0,898	0,034
P161515	15	16	0,61	7,101	36,334	29,749	1,503	0,13	0,42	0,07
P161515	16	17	2,1	11,346	39,391	24,135	2,621	0,772	0,854	0,034
P161515	17	18	0,759	7,84	35,136	26,276	1,942	0,699	0,48	0,061
P161515	18	19	0,3	6,477	33,097	30,195	1,652	0,487	0,346	0,076
P161515	19	20	1,542	7,695	40,652	30,212	1,646	0,007	0,448	0,053

<i>Hole Id</i>	<i>From (m)</i>	<i>To (m)</i>	Ni (%)	Fe (%)	SiO2 (%)	MgO (%)	Al ₂ O ₃ (%)	CaO (%)	Cr ₂ O ₃ (%)	Co (%)
P161515	20	21	0,655	6,296	36,603	30,371	1,436	0,017	0,305	0,072
P161715	0	1	0,86	45,071	2,668	2,386	7,549	0,01	2,088	0,075
P161715	1	2	1,15	47,117	1,648	1,094	6,256	0,01	2,198	0,082
P161715	2	3	1,337	48,976	1,326	0,77	5,989	0,01	2,299	0,135
P161715	3	4	1,239	49,703	1,128	0,74	5,106	0,01	2,101	0,14
P161715	4	5	1,186	50,293	1,404	0,582	4,886	0,01	2,516	0,253
P161715	5	6	1,461	50,111	1,167	0,458	4,626	0,01	2,84	0,157
P161715	6	7	1,461	44,198	1,036	0,387	6,075	0,01	2,991	0,188
P161715	7	8	1,229	43,925	1,776	0,784	5,481	0,01	2,964	0,222
P161715	8	9	1,306	46,876	3,041	0,995	6,13	0,01	2,343	0,166
P161715	9	10	1,622	48,676	5,425	0,778	3,734	0,01	2,389	0,212
P161715	10	11	1,782	42,654	8,247	2,933	3,866	0,039	2,668	0,25
P161715	11	12	2,057	23,42	30,901	12,979	3,101	0,331	1,37	0,032
P161715	12	13	1,931	26,58	24,467	6,214	4,131	1,316	1,722	0,021
P161715	13	14	1,942	33,971	22,262	5,69	3,232	0,209	2,63	0,094
P161715	14	15	1,859	40,256	8,959	3,541	4,853	0,021	2,822	0,098
P161715	15	16	2,008	39,148	9,943	3,288	6,009	0,013	2,365	0,067
P161715	16	17	1,905	35,011	15,545	4,8	5,06	0,149	2,074	0,051
P161715	17	18	2,773	24,94	25,724	11,222	3,355	0,403	1,541	0,033
P161715	18	19	2,5	14,289	35,351	20,048	2,605	0,338	0,991	0,028
P161715	19	20	2,428	25,762	26,367	11,235	3,345	0,591	1,595	0,017
P161715	20	21	1,142	19,87	36,582	10,227	1,697	0,046	0,774	0,024
P161715	21	22	2,337	20,492	31,968	15,295	2,659	0,878	1,011	0,01
P161715	22	23	2,206	20,1	30,608	12,819	3,125	1,019	1,188	0,017
P161715	23	24	2,387	20,523	27,769	13,834	3,282	1,271	1,105	0,01
P161715	24	25	1,202	8,385	38,768	28,074	2,39	0,724	0,533	0,052
P161715	25	26	2,713	14,524	35,416	22,163	2,494	1,015	0,722	0,018
P161715	26	27	1,808	12,741	39,414	19,375	2,09	0,218	0,682	0,028
P161715	27	28	0,991	6,96	36,581	30,903	1,61	0,152	0,354	0,064
P161715	28	29	1,086	6,871	34,471	30,149	1,455	0,043	0,307	0,063
P161715	29	30	1,778	10,414	39,706	25,244	1,716	0,404	0,473	0,035
P161715	30	31	1,285	9,692	35,954	25,957	2,157	1,475	0,5	0,045
P161715	31	32	1,092	9,691	38,776	27,115	1,996	1,122	0,548	0,048
P161715	32	33	0,744	9,591	36,344	24,317	1,905	1,265	0,542	0,056
P161715	33	34	0,554	7,61	39,452	32,641	1,52	0,499	0,347	0,067
P161715	34	35	1,237	8,556	40,078	28,681	2,467	0,74	0,537	0,05
P161717	0	1	1,294	44,01	5,445	1,738	5,252	0,01	2,272	0,142
P161717	1	2	1,32	39,092	11,758	3,293	4,48	0,077	2,005	0,093
P161717	2	2,55	2,303	13,807	31,004	22,634	2,269	0,379	0,776	0,029
P161717	2,55	3	1,931	7,35	34,963	27,85	1,519	0,103	0,325	0,047
P161717	3	4	2,406	8,214	39,144	29,263	1,477	0,01	0,327	0,036
P161717	4	4,5	2,8	11,579	38,19	25,971	1,601	0,01	0,507	0,023
P161717	4,5	5	1,539	7,171	35,358	27,654	1,502	0,01	0,344	0,055

<i>Hole Id</i>	<i>From (m)</i>	<i>To (m)</i>	<i>Ni (%)</i>	<i>Fe (%)</i>	<i>SiO2 (%)</i>	<i>MgO (%)</i>	<i>Al2O3 (%)</i>	<i>CaO (%)</i>	<i>Cr2O3 (%)</i>	<i>Co (%)</i>
P161717	5	6	0,741	7,114	33,56	28,961	1,863	0,865	0,46	0,068
P161717	6	7	0,582	7,096	35,267	28,636	2,175	1,552	0,474	0,069
P161919	0	1	1,044	42,393	8,049	5,123	4,982	0,01	2,206	0,118
P161919	1	2	1,066	44,14	3,883	1,574	5,561	0,01	2,306	0,128
P161919	2	3	1,257	46,496	4,363	2,144	5,785	0,01	2,349	0,129
P161919	3	3,3	3,374	11,416	33,977	24,069	2,169	0,025	1,102	0,026
P161919	3,3	4	0,607	6,342	37,007	30,299	1,659	0,224	0,331	0,074
P161919	4	5	0,688	7,007	37,911	33,005	1,568	0,119	0,355	0,066
P161919	5	6	2,524	20,417	31,058	19,212	1,902	0,02	0,866	0,018
P161919	6	7	2,953	9,466	39,121	27,056	2,116	0,298	0,73	0,027
P161919	7	8	2,704	27,708	25,901	10,715	3,984	0,233	1,987	0,02
P161919	8	9	2,906	24,806	27,329	11,767	3,938	0,179	1,988	0,012
P161919	9	9,45	2,86	29,368	23,702	10,573	3,302	0,148	2,33	0,033
P161919	9,45	10	2,411	14,082	29,877	18,553	2,657	0,451	1,115	0,019
P161919	10	11	0,704	7,41	35,07	30,2	1,997	1,351	0,456	0,066
P161919	11	11,5	2,596	20,742	35,416	18,288	2,623	0,102	1,219	0,022
P161919	11,5	12	2,427	10,822	41,647	27,197	1,542	0,01	0,55	0,028
P161919	12	13	2,445	14,492	39,037	25,982	1,54	0,01	0,566	0,021
P161919	13	13,4	1,267	8,581	40,967	30,916	1,463	0,011	0,501	0,049
P161919	13,4	14	1,915	13,085	40,4	26,933	1,495	0,01	0,857	0,028
P161919	14	15	1,26	10,419	41,308	29,485	1,528	0,022	0,542	0,044
P161919	15	16	0,811	8,676	43,872	30,811	1,64	0,042	0,598	0,054
P161919	16	17	1,076	9,822	42,2	30,505	1,475	0,01	0,744	0,049
P161919	17	18	0,589	7,084	43,084	34,362	1,432	0,01	0,49	0,067
P161919	18	19	0,362	7,01	38,667	36,516	1,672	0,63	0,379	0,074
P161919	19	20	0,239	6,461	40,59	34,359	1,709	0,052	0,439	0,077
P162319	0	1	0,989	41,316	13,16	3,267	5,233	0,077	2,187	0,105
P162319	1	2	0,965	37,773	20,15	3,177	5,138	0,027	1,768	0,109
P162319	2	3	1,161	42,54	8,567	3,015	5,334	0,128	2,609	0,148
P162319	3	4	1,138	44,677	6,186	1,871	5,606	0,01	2,186	0,164
P162319	4	5	1,284	47,356	5,759	1,747	5,737	0,01	2,029	0,188
P162319	5	6	1,186	47,616	5,203	1,331	6,178	0,01	2,06	0,154
P162319	6	7	1,164	45,59	4,189	1,057	6,1	0,01	2,483	0,173
P162319	7	8	1,143	47,309	4,649	1,287	6,508	0,01	2,149	0,139
P162319	8	9	1,166	47,856	4,083	1,331	5,421	0,01	2,593	0,18
P162319	9	10	1,072	35,444	11,413	5,095	5,51	0,01	2,624	0,171
P162319	10	11	1,308	44,374	6,303	2,652	5,746	0,01	2,309	0,271
P162319	11	12	1,123	46,619	5,118	2,01	4,453	0,01	2,442	0,105
P162319	12	12,4	1,716	35,954	15,671	2,877	4,536	0,585	2,505	0,053
P162319	12,4	13	1,332	22,48	24,622	9,781	3,929	1,64	1,507	0,021
P162319	13	14	1,244	16,185	32,797	16,63	3,388	1,808	1,137	0,032
P162319	14	15	0,762	10,128	31,044	23,934	2,644	1,774	0,672	0,052
P162319	15	15,4	0,742	8,238	36,272	30,456	2,268	1,496	0,555	0,06

<i>Hole Id</i>	<i>From (m)</i>	<i>To (m)</i>	<i>Ni (%)</i>	<i>Fe (%)</i>	<i>SiO2 (%)</i>	<i>MgO (%)</i>	<i>Al₂O₃ (%)</i>	<i>CaO (%)</i>	<i>Cr₂O₃ (%)</i>	<i>Co (%)</i>
P162319	15,4	16	1,687	16,678	37,479	17,806	2,859	0,856	1,194	0,024
P162319	16	17	1,606	13,293	38,993	17,012	2,077	1,723	0,588	0,029
P162319	17	18	1,864	12,778	44,271	19,973	2,254	0,929	0,744	0,028
P162319	18	19	2,112	11,355	41,424	23,892	2,468	0,621	0,651	0,027
P162319	19	19,4	0,889	7,712	35,933	28,039	2,003	1,105	0,519	0,061
P162319	19,4	20	2,179	12,457	38,908	22,788	2,01	0,668	0,903	0,031
P162319	20	21	1,977	15,548	39,134	23,638	1,673	0,136	0,875	0,021
P162319	21	22	0,476	7,831	42,355	32,198	1,505	0,033	0,438	0,068
P162319	22	23	0,7	9,243	42,587	29,872	1,507	0,01	0,399	0,051
P162319	23	24	1	9,708	42,643	30,378	1,704	0,168	0,753	0,053
P162319	24	25	2,065	10,215	42,697	27,251	1,69	0,197	0,601	0,033
P162319	25	26	1,344	11,142	44,152	26,759	1,704	0,225	0,689	0,039
P162519	0	1	1,106	48,72	2,194	1,036	6,128	0,01	1,988	0,143
P162519	1	2	1,027	48,715	2,23	0,694	6,385	0,01	2,157	0,134
P162519	2	3	1,122	49,095	2,214	0,798	6,252	0,01	2,002	0,135
P162519	3	4	1,505	21,71	34,576	9,471	2,771	1,36	1,236	0,025
P162519	4	5	1,25	47,93	2,517	1,006	5,708	0,01	2,57	0,17
P162519	5	6	1,287	49,5	3,296	1,384	4,919	0,01	2,073	0,135
P162519	6	7	1,312	46,494	3,476	1,778	6,151	0,01	2,391	0,183
P162519	7	8	1,254	45,726	9,381	2,083	3,571	0,01	2,035	0,176
P162519	8	9	1,398	46,802	7,791	2,402	3,741	0,011	1,949	0,178
P162519	9	10	1,568	35,892	14,023	4,115	5,821	0,475	2,35	0,112
P162519	10	11	1,521	23,399	28,131	10,394	3,756	1,572	1,513	0,037
P162519	11	11,4	1,462	22,976	32,37	9,992	3,527	1,819	1,352	0,031
P162519	11,4	12	1,798	29,39	27,498	7,626	2,508	0,714	1,313	0,033
P162519	12	13	1,471	26,685	27,714	6,645	4,292	0,922	1,544	0,035
P162519	13	13,5	1,493	26,408	29,406	6,236	3,509	1,284	1,754	0,035
P162519	13,5	14	1,822	27,065	25,212	5,868	3,977	1,489	1,721	0,035
P162519	14	15	1,192	49,043	2,217	0,788	5,835	0,01	2,08	0,112
P162519	15	16	2,145	12,162	41,76	22,089	1,935	0,464	0,546	0,027
P162519	16	17	3,022	10,142	40,408	25,635	1,61	0,153	0,421	0,02
P162519	17	18	2,538	8,714	41,614	28,404	1,961	0,488	0,578	0,035
P162519	18	18,5	2,11	7,673	45,931	30,17	2,038	0,07	0,431	0,042
P162519	18,5	19	2,272	11,949	38,151	24,585	1,943	0,481	0,651	0,024
P162519	19	20	1,253	9,066	47,627	21,209	2,003	0,809	0,639	0,05
P162519	20	20,5	2,478	8,999	40	28,918	1,597	0,155	0,3	0,032
P162519	20,5	21	2,255	8,673	46,445	26,761	1,824	0,272	0,561	0,037
P162519	21	22	1,792	10,032	39,429	24,663	1,994	0,856	0,472	0,039
P162519	22	23	0,733	8,27	40,55	26,681	2,188	1,328	0,517	0,061
P162519	23	24	1,016	7,039	58,146	15,909	1,694	0,313	0,337	0,063
P162519	24	25	0,467	7,669	39,036	29,994	2,418	2,167	0,468	0,07
P162519	25	26	0,638	8,251	37,648	29,872	2,538	1,571	0,507	0,065
P162519	26	27	1,265	8,501	44,103	29,356	1,702	0,348	0,412	0,05

<i>Hole Id</i>	<i>From</i> (m)	<i>To</i> (m)	Ni (%)	Fe (%)	SiO2 (%)	MgO (%)	Al ₂ O ₃ (%)	CaO (%)	Cr ₂ O ₃ (%)	Co (%)
P162519	27	28	0,893	8,026	46,067	28,855	1,975	1,117	0,471	0,059
P162519	28	29	0,351	7,445	39,636	35,07	1,915	1,199	0,458	0,073
P162519	29	30	0,418	7,614	40,102	35,379	1,483	0,185	0,441	0,068
P162519	30	31	0,321	7,493	46,072	32,683	1,455	0,05	0,438	0,073
P162519	31	32	0,301	7,543	48,652	28,228	1,52	0,152	0,396	0,07
P162519	32	33	0,252	7,602	38,401	30,989	1,806	1,053	0,466	0,07
P162719	0	1	0,93	34,123	28,323	2,25	4,178	0,01	1,653	0,145
P162719	1	2	1,804	25,407	30,83	5,692	3,944	0,206	1,574	0,137
P162719	2	3	1,538	24,027	33,855	7,462	3,415	0,054	1,259	0,144
P162719	3	4	2,436	20,799	32,745	10,539	2,646	0,531	1,605	0,114
P162719	4	5	2,338	9,312	50,469	16,166	1,829	0,239	0,535	0,059
P162719	5	6	1,029	8,001	42,852	25,397	1,95	0,781	0,501	0,065
P162719	6	7	1,533	7,783	36,292	24,805	1,855	0,697	0,535	0,06
P162719	7	8	0,512	7,196	63,424	16,366	1,806	0,536	0,445	0,073
P162719	8	8,4	0,402	7,223	39,076	38,295	1,71	0,629	0,444	0,071
P162719	8,4	9	1,284	10,043	41,716	16,913	1,816	0,675	0,62	0,057
P162719	9	10	1,094	10,888	50,6	10,505	1,902	0,605	0,684	0,052
P162719	10	11	0,501	6,549	66,443	16,691	1,65	0,167	0,407	0,076
P162719	11	12	0,613	7,695	38,925	33,306	1,927	0,996	0,489	0,07
P162521	0	1	0,76	41,44	14,508	1,762	4,938	0,01	1,922	0,055
P162521	1	2	0,755	35,702	26,119	1,191	3,832	0,01	1,552	0,061
P162521	2	3	0,557	23,834	50,053	0,97	2,633	0,01	1,1	0,019
P162521	3	4	0,692	24,498	35,151	1,025	3,161	0,01	1,423	0,152
P162521	4	5	0,225	12,515	62,172	0,864	2,147	0,01	0,707	0,049
P162521	5	6	0,474	18,037	50,363	1,414	2,641	0,01	1,369	0,048
P162521	6	7	0,897	28,586	28,737	3,01	2,566	0,548	1,544	0,051
P162521	7	8	1,098	15,918	41,278	11,116	3,339	2,297	1,045	0,048
P162521	8	9	1,058	19,441	41,512	8,014	2,767	1,176	1,209	0,037
P162521	9	10	0,38	7,423	39,087	34,093	1,812	0,873	0,425	0,069
P162521	10	11	0,496	7,747	52,347	24,967	1,922	0,726	0,531	0,069
P162521	11	11,6	0,616	8,213	60,987	13,772	1,943	0,747	0,482	0,068
P162521	11,6	12	0,791	17,561	47,365	9,386	1,735	0,365	0,681	0,029
P162521	12	12,5	0,855	17,105	51,166	6,91	1,768	0,333	1,086	0,031
P162521	12,5	13	1,438	20,443	35,83	12,677	2,481	1,618	1,366	0,027
P162521	13	13,7	0,937	9,043	37,383	27,448	2,324	2,022	0,631	0,058
P162521	13,7	14	0,999	14,853	46,255	13,746	2,689	1,827	1,065	0,041
P162521	14	15	0,678	9,785	37,555	25,795	2,439	2,479	0,761	0,056
P162521	15	16	0,831	8,122	37,779	30,946	1,962	1,119	0,534	0,058
P162521	16	17	1,38	15,677	40,451	19,426	1,677	0,372	1,002	0,03
P162521	17	18	0,85	17,471	48,645	8,887	1,922	0,462	0,966	0,035
P162521	18	19	1,015	21,83	43,631	8,393	1,868	0,398	1,14	0,035
P162521	19	20	1,203	10,768	49,758	21,596	1,746	0,224	0,556	0,042
P162521	20	21	0,828	8,527	39,5	27,707	2,451	1,419	0,546	0,058

<i>Hole Id</i>	<i>From</i> (m)	<i>To</i> (m)	Ni (%)	Fe (%)	SiO2 (%)	MgO (%)	Al ₂ O ₃ (%)	CaO (%)	Cr ₂ O ₃ (%)	Co (%)
P162521	21	22	0,759	7,092	69,119	15,141	1,667	0,079	0,426	0,068
P162521	22	23	1,424	9,109	50,065	23,17	1,514	0,069	0,569	0,05
P162521	23	24	0,56	9,346	41,231	24,505	2,11	1,6	0,616	0,059
P162521	24	25	0,369	8,04	37,775	33,486	2,345	1,905	0,5	0,068
P162521	25	26	0,245	4,473	66,459	9,528	1,648	0,182	0,203	0,093
P162521	26	27	0,488	6,574	70,011	8,566	1,721	0,164	0,41	0,077
P162521	27	28	1,303	21,01	32,553	10,902	2,609	2,092	1,417	0,039
P162521	28	29	1,221	10,003	42,225	24,216	2,027	1,086	0,722	0,05
P162521	29	30	0,398	8,211	34,5	31,251	2,073	1,537	0,541	0,066
P162521	30	31	0,71	9,07	36,339	23,537	2,111	1,495	0,614	0,059
P162521	31	32	0,354	7,391	35,618	31,643	2,211	1,845	0,446	0,072
P162521	32	33	0,682	7,326	36,626	29,999	1,63	0,642	0,365	0,067
P162521	33	34	0,867	7,265	42,914	28,236	1,805	0,797	0,437	0,065
P162521	34	35	0,271	6,693	34,863	32,439	1,807	0,991	0,401	0,078
P162321	0	0,6	0,674	29,85	27,996	1,42	3,966	0,013	2,17	0,064
P162321	0,6	1	0,824	35,158	21,858	1,145	3,812	0,01	2,013	0,061
P162321	1	2	0,567	21,094	45,148	1,621	2,355	0,01	1,105	0,027
P162321	2	3	0,862	31,302	24,145	1,446	3,847	0,038	1,463	0,069
P162321	3	3,5	0,939	36,456	18,189	1,16	4,42	0,01	1,868	0,095
P162321	3,5	4	0,536	12,203	49,777	7,219	2,484	0,316	1,009	0,057
P162321	4	5	0,557	16,477	53,642	3,122	2,368	0,059	1,107	0,055
P162321	5	6	0,823	19,985	45,484	3,409	2,245	0,019	0,988	0,053
P162321	6	7	0,743	21,494	40,44	1,693	1,586	0,01	1,449	0,051
P162321	7	8	0,653	14,617	51,309	6,912	2,001	0,241	0,801	0,045
P162321	8	9	0,423	9,895	57,889	7,612	2,736	0,463	0,603	0,061
P162321	9	9,7	0,743	11,022	54,059	11,218	2,489	0,758	0,679	0,053
P162321	9,7	10	0,302	5,941	70,768	4,303	1,722	0,036	0,34	0,084
P162321	10	11	0,247	5,125	74,906	3,397	1,671	0,024	0,269	0,089
P162321	11	11,5	0,233	6,007	75,712	3,015	1,79	0,074	0,411	0,084
P162321	11,5	12	0,409	5,651	59,377	9,797	2,189	1,035	0,404	0,083
P162321	12	13	0,718	11,634	55,686	7,545	1,822	0,375	0,696	0,054
P162321	13	13,3	0,309	8,522	62,067	7,274	1,802	0,482	0,665	0,077
P162321	13,3	14	1,042	12,15	57,267	9,554	2,983	0,347	1,151	0,065
P162321	14	15	1,543	10,798	44,645	19,431	2,103	0,897	0,864	0,054
P162321	15	16	0,93	5,47	60,06	15,23	1,58	0,12	0,29	0,08
P162321	16	17	0,68	8,02	49,1	23,72	1,49	0,06	0,44	0,06
P162321	17	18	0,32	7,49	57,9	21,03	1,54	0,08	0,43	0,07
P162321	18	19	0,26	7,14	48,92	21,87	1,48	0,04	0,29	0,07
P162321	19	20	0,39	7,05	52,83	24,03	1,51	0,06	0,44	0,07
P162321	20	21	0,74	7,58	39,24	29,2	1,55	0,32	0,5	0,06
P162321	21	22	0,33	7,06	42,5	28,01	1,94	1,1	0,46	0,07
P162321	22	23	0,23	6,93	37,59	29,45	1,84	1,02	0,52	0,08
P162317	0	1	1,128	37,102	16,526	3,055	4,178	0,196	2,055	0,07

<i>Hole Id</i>	<i>From (m)</i>	<i>To (m)</i>	<i>Ni (%)</i>	<i>Fe (%)</i>	<i>SiO2 (%)</i>	<i>MgO (%)</i>	<i>Al₂O₃ (%)</i>	<i>CaO (%)</i>	<i>Cr₂O₃ (%)</i>	<i>Co (%)</i>
P162317	1	2	1,24	38,849	12,774	3,273	4,184	0,23	1,909	0,084
P162317	2	3	1,296	36,437	13,145	3,119	4,165	0,332	2,415	0,083
P162317	3	3,4	1,865	24,013	23,955	12,839	2,527	0,17	1,35	0,03
P162317	3,4	4	1,242	8,392	38,435	29,643	1,561	0,174	0,491	0,052
P162317	4	5	1,438	7,502	39,075	29,829	1,482	0,173	0,401	0,053
P162317	5	5,5	0,94	7,34	40,17	31,78	1,48	0,15	0,43	0,06
P162317	5,5	6	1,77	11,56	41,44	26,34	1,6	0,21	0,81	0,03
P162317	6	7	1,95	14,48	40,04	22,1	2,23	0,11	0,78	0,02
P162317	7	8	1,29	8,28	36,8	24,57	1,86	0,98	0,44	0,05
P162317	8	9	1,11	8,74	39,15	24,82	2,24	1,09	0,48	0,05
P162317	9	10	1,03	9,15	40,36	25,95	2,16	1,05	0,54	0,05
P162515	0	1	0,97	31,87	19,81	6,31	3,16	0,51	2,12	0,07
P162515	1	2	0,95	19,26	30,57	15,64	2,38	0,65	0,99	0,03
P162515	2	3	1,08	19,95	35,14	16,1	2,12	0,26	1,01	0,03
P162515	3	4	1,03	15,73	38,66	19,62	1,77	0,31	0,87	0,03
P162515	4	5	0,587	11,023	41,807	24,764	2,1	0,928	0,703	0,049
P162515	5	6	0,709	13,005	39,465	20,435	2,316	1,255	0,8	0,04
P162515	6	7	0,942	11,067	42,75	24,214	2,015	0,42	0,717	0,042
P162515	7	8	0,791	9,973	43,092	25,788	2,113	0,408	0,697	0,053
P162515	8	9	0,481	10,628	43,628	24,691	2,203	0,606	0,678	0,053
P162515	9	10	0,445	10,847	43,886	26,05	1,846	0,243	0,695	0,052
P162125	0	0,3	0,58	18,36	34,18	10	6,14	0,54	2	0,08
P162125	0,3	1	0,5	13,9	37,89	17,38	5,17	0,47	1,13	0,05
P162125	1	1,6	0,76	19,98	34,16	7,17	7,85	0,33	1,31	0,04
P162125	1,6	2	0,23	9,7	42,55	6,25	10,72	5,28	0,31	0,06
P162125	2	3	0,58	13,6	41,87	8,68	10,29	2,73	0,6	0,04
P162125	3	4	0,7	15,54	42,48	15,55	4,5	0,42	0,93	0,04
P162125	4	5	0,47	10,6	42,7	25,94	3,23	0,33	0,74	0,05
P162125	5	6	0,297	7,827	43,304	32,031	1,695	0,01	0,411	0,068
P162125	6	7	0,275	7,098	43,081	33,426	1,534	0,01	0,392	0,074
P162125	7	8	0,245	7,107	41,801	33,828	1,749	0,022	0,375	0,074
P162125	8	8,5	0,187	6,897	39,188	28,399	3,036	1,126	0,391	0,076
P162125	8,5	9	0,207	6,619	37,809	31,181	1,554	0,078	0,344	0,077
P162125	9	10	0,21	6,646	38,028	31,27	1,92	0,172	0,403	0,078
P162125	10	11	0,188	6,832	40,408	32,616	3,065	0,845	0,443	0,077
P162125	11	12	0,126	6,748	38,704	24,664	4,64	2,731	0,285	0,079
P162125	12	13	0,014	6,738	41,164	11,95	8,555	11,507	0,164	0,092
P162125	13	13,7	0,01	6,404	44,858	4,787	9,473	10,883	0,098	0,094
P162717	0	1	1,176	38,32	16,582	2,608	4,168	0,079	1,645	0,109
P162717	1	2	1,477	40,999	13,018	2,722	4,425	0,063	1,577	0,124
P162717	2	3	1,494	31,829	18,928	4,788	3,905	0,702	1,385	0,081
P162717	3	4	1,964	16,145	34,045	13,888	2,763	1,268	1,22	0,045
P162717	4	5	2,642	8,152	36,98	27,803	1,466	0,062	0,313	0,035

<i>Hole Id</i>	<i>From (m)</i>	<i>To (m)</i>	Ni (%)	Fe (%)	SiO2 (%)	MgO (%)	Al ₂ O ₃ (%)	CaO (%)	Cr ₂ O ₃ (%)	Co (%)
P162717	5	6	1,695	9,856	40,281	21,269	1,872	0,815	0,755	0,041
P162717	6	7	1,381	8,379	40,004	26,469	1,601	0,282	0,433	0,049
P162717	7	8	2,324	10,748	41,845	23,574	1,773	0,117	0,614	0,027
P162717	8	9	2,433	9,355	40,735	26,356	1,764	0,103	0,502	0,03
P162717	9	10	2,28	11,546	39,343	25,65	1,782	0,152	0,612	0,027
P162717	10	11	1,723	11,502	35,662	21,639	2,104	1,472	0,61	0,035
P162717	11	12	1,612	8,602	45,619	22,028	1,794	0,414	0,381	0,046
P162717	12	13	0,424	7,524	38,91	33,052	1,531	0,142	0,248	0,069
P162717	13	14	0,325	7,712	37,15	32,18	1,541	0,357	0,379	0,068
P162717	14	15	0,193	7,012	35,376	31,676	1,817	1,115	0,398	0,077
P162917	0	1	0,98	43,637	9,138	1,345	4,752	0,01	1,894	0,078
P162917	1	2	1,191	46,629	5,958	1,096	4,024	0,01	2,188	0,234
P162917	2	3	1,134	42,119	10,889	1,656	4,15	0,01	2,177	0,251
P162917	3	4	0,979	32,774	28,527	2,645	3,699	0,01	1,836	0,154
P162917	4	5	0,968	17,206	44,275	5,54	2,535	0,576	0,961	0,051
P162917	5	6	1,829	16,099	40,175	13,098	2,568	1,126	1,108	0,029
P162917	6	7	0,622	8,459	63,331	4,75	1,96	0,358	0,555	0,064
P162917	7	8	0,314	6,47	58,213	17,892	1,74	0,522	0,323	0,078
P162917	8	9	0,539	7,743	36,254	27,615	2,104	1,565	0,461	0,067
P162917	9	10	0,395	7,231	45,016	27,088	1,882	0,973	0,432	0,072
P162917	10	11	0,411	5,123	70,778	9,191	0,227	0,276	0,341	0,008
P162917	11	12	0,291	4,218	69,32	13,656	0,332	0,327	0,236	0,006
P162917	12	13	0,316	3,8	81,584	5,479	0,045	0,056	0,218	0,005
P162917	13	14	0,192	3,063	84,24	0,97	0,241	0,012	0,204	0,003
P162517	0	1	1,25	42,42	11,12	2,95	4,56	0,01	1,94	0,16
P162517	1	2	1,35	40,89	8,84	2,37	4,69	0,01	2,11	0,14
P162517	2	3	1,32	32,65	18,28	3,99	4,45	0,14	1,66	0,09
P162517	3	3,4	1,15	7,15	36,93	29,48	2,01	1,1	0,45	0,06
P162517	3,4	4	1,3	14,91	41,28	12,18	2,82	0,91	1,1	0,04
P162517	4	5	2,37	11,56	35,57	22,69	2,51	1,01	0,93	0,03
P162517	5	6	2,03	8,3	36,76	25,62	2,04	0,95	0,54	0,04
P162517	6	6,5	0,72	7,35	35,24	30,81	1,95	0,89	0,44	0,07
P162517	6,5	7	2,33	11,56	40,9	21,43	2,23	0,44	0,79	0,03
P162517	7	8	2,22	16,57	31,5	17,64	2,27	1,12	1,04	0,02
P162517	8	9	1,55	8,25	37,43	27,39	1,77	0,37	0,55	0,05
P162517	9	10	1,96	8,9	37,33	28,07	1,56	0,23	0,48	0,04
P162517	10	11	0,99	7,95	37,73	30,45	1,98	1,15	0,53	0,06
P162517	11	12	0,91	10,52	37,41	25,33	2,35	1,33	0,79	0,05
P162517	12	13	1,18	12,82	38,24	20,34	2,5	1,7	0,93	0,04
P162517	13	14	1,1	9,57	38,29	26,54	1,69	0,92	0,54	0,05
P162517	14	15	0,38	8,03	35,55	31,5	1,57	0,75	0,48	0,07
P162517	15	16	0,26	7,57	34,34	29,17	1,94	1,78	0,48	0,07
P162517	16	17	0,29	7,88	39,12	30,74	1,76	1,26	0,44	0,07

<i>Hole Id</i>	<i>From (m)</i>	<i>To (m)</i>	Ni (%)	Fe (%)	SiO2 (%)	MgO (%)	Al ₂ O ₃ (%)	CaO (%)	Cr ₂ O ₃ (%)	Co (%)
P162517	17	18	0,31	8,1	36,85	28,84	1,83	1,33	0,51	0,07
P162517	18	19	0,23	7,39	34,5	28,3	1,83	1,54	0,44	0,07
P162123	0	1	1,17	41,13	11,63	2,26	5,69	0,09	2,66	0,13
P162123	1	2	1,13	35,71	14,38	4,1	4,49	0,36	2,33	0,11
P162123	2	2,4	1,95	16,77	36,98	13,59	4,22	0,13	0,87	0,07
P162123	2,4	3	1,23	10,73	37,78	26,33	1,98	0,22	0,61	0,05
P162123	3	3,3	1,8	18,37	27,9	17,41	3,03	0,1	1,15	0,04
P162123	3,3	4	1,24	42,93	8,13	1,91	5,67	0,01	3,05	0,13
P162123	4	5	1,24	23,17	28,22	17,26	3,49	0,03	1,69	0,06
P162123	5	6	1,05	12,25	39,38	26,18	2,31	0,02	0,93	0,05
P162123	6	7	0,66	7,51	37,28	32,43	1,62	0,07	0,38	0,07
P162123	7	8	0,58	8,29	39,22	32,35	1,98	0,57	0,55	0,06
P162123	8	9	0,22	7,11	33,99	34,14	1,7	0,38	0,48	0,07
P162123	9	10	0,19	6,29	33,95	35,69	1,54	0,26	0,39	0,08
P162919	0	1	0,595	29,383	38,343	0,782	3,187	0,001	1,282	0,036
P162919	1	2	0,378	19,73	56,04	0,363	1,718	0,001	0,618	0,023
P162919	2	3	0,796	27,669	39,51	1,143	2,804	0,001	1,302	0,137
P162919	3	4	0,814	27,312	40,526	1,265	2,027	0,005	1,248	0,114
P162919	4	5	0,82	36,399	28,828	1,291	1,371	0,001	1,522	0,051
P162919	5	6	0,528	21,721	65,45	0,54	1,27	0,001	1,143	0,051
P162919	6	7	0,83	25,392	42,546	0,935	2,746	0,001	1,383	0,062
P162919	7	8	1,05	29,327	33,189	2,049	2,551	0,001	2,188	0,182
P162919	8	9	1,072	26,412	32,469	5,03	4,75	0,001	2,147	0,127
P162919	9	10	0,091	3,336	95,617	0,026	0,136	0,001	0,198	0,003
P162919	10	11	0,08	3,08	83,897	0,086	0,022	0,001	0,207	0,002
P162919	11	12	0,087	3,257	97,865	0,24	0,101	0,001	0,164	0,003
P162919	12	13	0,101	3,111	85,132	0,693	0,047	0,001	0,173	0,004
P162919	13	14	0,366	3,167	83,041	4,49	0,149	0,001	0,168	0,003
P162919	14	15	0,425	3,437	89,101	10,111	0,17	0,016	0,191	0,004
P161925	0	1	0,821	28,961	23,605	5,804	11,026	0,095	1,852	0,064
P161925	1	1,3	0,92	28,832	22,699	6,728	12,107	0,099	1,574	0,061
P161925	1,3	1,65	0,921	22,581	28,21	11,522	11,145	0,135	1,303	0,046
P161925	1,65	2	0,562	6,303	47,117	37,279	3,498	0,352	0,45	0,011
P161925	2	3	0,774	8,293	50,96	35,415	1,89	0,056	0,595	0,017
P161925	3	4	0,739	7,373	44,598	31,944	1,326	0,174	0,561	0,013
P161925	4	5	0,977	9,426	53,083	36,066	0,861	0,024	0,72	0,019
P161925	5	5,4	0,265	5,501	52,206	45,853	1,232	0,019	0,446	0,009
P161925	5,4	6	0,352	5,556	41,781	34,922	0,258	0,001	0,426	0,009
P161925	6	7	0,251	5,134	42,174	36,572	0,322	0,001	0,351	0,008
P161925	7	7,5	0,264	5,498	51,817	45,277	1,259	0,023	0,446	0,009
P161925	7,5	8	0,15	6,714	38,375	29,48	6,555	1,297	0,236	0,008
P161925	8	9	0,104	5,425	40,712	23,309	9,753	5,931	0,158	0,005
P161925	9	10	0,238	5,546	41,17	36,089	2	0,974	0,384	0,009

<i>Hole Id</i>	<i>From (m)</i>	<i>To (m)</i>	Ni (%)	Fe (%)	SiO2 (%)	MgO (%)	Al ₂ O ₃ (%)	CaO (%)	Cr ₂ O ₃ (%)	Co (%)
P161925	10	11	0,212	5,531	39,853	35	1,864	0,528	0,407	0,009
P161925	11	12	0,212	5,569	38,371	34,066	1,549	0,942	0,359	0,009
P161921	0	1	0,957	44,871	6,535	1,102	9,949	0,011	2,171	0,09
P161921	1	2	1,209	43,574	8,86	1,764	7,783	0,001	1,998	0,162
P161921	2	3	1,29	46,472	6,707	1,439	6,101	0,001	2,405	0,143
P161921	3	4	1,134	43,367	13,958	1,55	4,741	0,005	1,819	0,102
P161921	4	5	1,221	40,922	15,46	1,806	4,509	0,001	1,936	0,127
P161921	5	6	1,082	38,579	22,455	1,663	1,872	0,001	1,736	0,09
P161921	6	7	1,247	30,327	30,024	8,798	0,948	0,028	1,453	0,079
P161921	7	8	2,103	12,672	48,843	33,783	0,887	0,001	0,58	0,029
P161921	8	8,5	1,923	9,583	49,798	36,193	0,643	0,001	0,749	0,021
P161921	8,5	9	1,998	6,639	43,77	33,286	0,221	0,001	0,382	0,012
P161921	9	10	1,871	10,692	51,197	32,76	1,282	0,008	0,696	0,024
P161921	10	11	1,818	9,825	50,478	34,146	0,816	0,006	0,477	0,021
P161921	11	12	2,06	10,803	48,281	31,664	1,109	0,029	0,82	0,023
P161921	12	13	1,347	7,829	51,739	39,873	0,232	0,001	0,409	0,017
P161921	13	14	0,961	6,759	37,453	29,91	0,078	0,001	0,488	0,012
P161921	14	15	1,314	7,634	40,809	31,643	0,129	0,001	0,392	0,016
P161921	15	16	0,341	5,514	40,984	36,201	0,755	0,092	0,397	0,01
P161921	16	17	0,238	5,071	39,27	35,311	0,501	0,022	0,417	0,007
P161921	17	18	0,285	5,085	35,11	31,296	0,385	0,012	0,457	0,008
P161921	18	19	0,261	4,789	40,144	39,078	0,219	0,157	0,344	0,008
P161921	19	20	0,226	5,069	38,615	39,055	0,451	0,305	0,31	0,008
P161923	0	1	1,262	47,004	6,911	1,54	6,775	0,008	2,262	0,111
P161923	1	2	1,409	48,554	5,067	2,003	6,179	0,01	2,371	0,126
P161923	2	3	1,408	22,696	35,509	27,851	2,362	0,001	1,668	0,068
P161923	3	4	0,904	6,74	43,342	33,905	0,184	0,001	0,71	0,012
P161923	4	5	0,297	5,575	41,799	35,787	0,296	0,099	0,34	0,009
P161923	5	6	0,235	5,052	41,403	36,672	0,261	0,001	0,368	0,008
P161923	6	7	0,236	5,161	39,782	36,28	0,351	0,001	0,483	0,008
P161923	7	8	0,419	5,521	39,873	35,054	0,238	0,001	0,383	0,009
P161923	8	9	0,274	5,229	43,112	39,992	0,094	0,001	0,324	0,008
P161923	9	10	0,267	5,245	48,473	45,051	0,096	0,001	0,33	0,009
P161923	10	11	0,37	5,325	41,255	36,863	0,28	0,001	0,354	0,009
P161923	11	11,5	0,288	5,35	41,722	37,579	0,445	0,026	0,439	0,009
P161923	11,5	12	0,233	5,316	41,683	41,437	0,335	0,47	0,299	0,009
P161923	12	13	0,235	5,216	32,251	33,162	0,26	0,543	0,344	0,009
P161923	13	14	0,245	5,016	36,374	39,75	0,145	0,005	0,304	0,009
P161725	0	1	1,018	35,853	13,175	7,027	11,141	0,116	2,081	0,086
P161725	1	2	1,046	40,387	8,029	3,975	12,168	0,064	2,311	0,118
P161725	2	2,5	0,912	30,105	17,108	9,735	12,234	0,232	1,968	0,065
P161725	2,5	3	0,953	13,843	42,019	5,154	27,072	0,853	0,474	0,025
P161725	3	4	0,691	9,757	48,253	2,88	29,753	1,49	0,065	0,009

<i>Hole Id</i>	<i>From (m)</i>	<i>To (m)</i>	<i>Ni (%)</i>	<i>Fe (%)</i>	<i>SiO2 (%)</i>	<i>MgO (%)</i>	<i>Al2O3 (%)</i>	<i>CaO (%)</i>	<i>Cr2O3 (%)</i>	<i>Co (%)</i>
P161725	4	5	1,552	14,856	42,019	22,03	9,516	2,187	1,192	0,032
P161725	5	6	1,63	13,65	46,692	21,836	6,809	1,277	1,086	0,029
P161725	6	7	1,431	12,29	48,485	24,861	6,44	1,006	0,972	0,025
P161725	7	8	1,595	14,8	49,698	21,595	6,176	0,286	1,011	0,033
P161725	8	9	1,885	9,862	48,05	28,149	4,86	0,843	0,79	0,019
P161725	9	10	1,546	7,762	50,232	36,009	2,339	0,579	0,511	0,014
P161725	10	11	0,355	6,077	44,09	34,806	2,879	1,159	0,505	0,01
P161725	11	12	0,223	5,568	39,793	32,533	2,528	1,203	0,443	0,009
P161725	12	13	0,233	5,712	40,799	33,841	2,369	1,859	0,463	0,009
P161725	13	14	0,219	5,69	40,402	33,645	2,474	1,781	0,45	0,009
P161725	14	15	0,217	5,615	40,38	33,348	2,408	1,608	0,411	0,009
P161723	0	1	0,677	44,742	2,159	0,836	15,706	0,001	2,041	0,054
P161723	1	2	0,677	44,374	1,813	0,81	16,092	0,001	2,027	0,06
P161723	2	3	0,741	42,166	1,912	0,779	18,003	0,001	1,751	0,069
P161723	3	4	1,045	48,05	2,48	0,989	10,749	0,001	2,444	0,081
P161723	4	5	1,026	51,202	2,589	1,183	6,719	0,001	2,672	0,076
P161723	5	6	1,173	49,349	2,689	1,034	8,396	0,001	2,311	0,124
P161723	6	7	1,211	49,036	2,634	1,034	7,831	0,009	2,717	0,123
P161723	7	8	1,293	50,631	2,788	1,468	4,846	0,005	3,165	0,153
P161723	8	9	1,411	47,325	3,21	1,337	8,852	0,013	2,744	0,168
P161723	9	10	1,547	38,012	14,965	9,274	3,629	0,004	2,687	0,104
P161723	10	11	2,368	12,519	46,687	35,322	1,041	0,001	0,902	0,03
P161723	11	12	1,971	8,689	39,299	30,491	0,471	0,001	0,55	0,018
P161723	12	13	1,805	10,191	48,977	35,851	0,94	0,001	0,727	0,022
P161723	13	14	1,499	8,775	48,5	36,08	1,28	0,011	0,686	0,017
P161723	14	15	1,28	8,311	49,416	38,236	0,918	0,001	0,59	0,016
P161723	15	16	0,596	5,637	41,224	30,291	0,847	0,662	0,725	0,008
P161723	16	17	0,393	5,455	41,936	32,883	0,649	0,552	0,79	0,008
P161723	17	18	0,381	5,896	39,415	33,707	0,711	0,07	0,473	0,009
P161723	18	18,5	0,323	6,157	49,115	42,838	0,306	0,001	0,489	0,012
P161723	18,5	19	0,815	16,288	38,868	34,202	3,036	0,091	1,195	0,043
P161723	19	20	0,24	5,542	38,834	34,714	0,278	0,029	0,45	0,009
P161723	20	21	0,222	5,22	34,675	35,708	0,369	0,052	0,429	0,009
P161723	21	22	0,792	7,895	39,079	33,78	1,088	0,001	0,521	0,016
P161723	22	23	0,614	5,759	39,92	34,842	0,828	0,001	0,522	0,009
P161723	23	24	0,256	5,488	41,592	38,262	0,437	0,001	0,403	0,009
P161721	0	1	0,593	41,39	5,282	0,85	17,101	0,001	1,965	0,054
P161721	1	2	0,634	41,49	5,39	0,91	16,716	0,001	1,87	0,067
P161721	2	3	0,773	43,463	4,605	0,982	14,473	0,001	2,052	0,085
P161721	3	4	0,907	44,291	4,43	1,247	12,317	0,005	2,533	0,119
P161721	4	5	1,033	45,29	4,991	1,143	10,878	0,001	2,358	0,121
P161721	5	6	1,181	47,562	3,796	1,441	8,157	0,001	2,795	0,122
P161721	6	7	1,168	51,529	4,439	1,692	3,703	0,002	2,497	0,091

<i>Hole Id</i>	<i>From (m)</i>	<i>To (m)</i>	<i>Ni (%)</i>	<i>Fe (%)</i>	<i>SiO2 (%)</i>	<i>MgO (%)</i>	<i>Al2O3 (%)</i>	<i>CaO (%)</i>	<i>Cr2O3 (%)</i>	<i>Co (%)</i>
P161721	7	8	1,253	48,262	6,473	2,232	4,3	0,001	2,713	0,108
P161721	8	9	1,229	50,17	5,14	2,582	3,748	0,001	2,939	0,096
P161721	9	10	1,516	45,602	7,15	3,64	5,616	0,01	3,028	0,126
P161721	10	11	1,957	19,325	34,652	19,726	3,167	0,002	1,066	0,045
P161721	11	12	2,093	17,898	40,143	18,952	2,36	0,007	1,159	0,036
P161721	12	13	2,153	18,747	39,17	25,473	0,846	0,001	1,405	0,047
P161721	13	14	1,523	22,93	30,308	12,997	7,471	0,58	1,723	0,049
P161721	14	15	1,487	11,407	42,487	28,408	2,045	0,064	0,755	0,027
P161721	15	15,5	0,259	4,945	40,151	36,659	0,382	0,001	0,308	0,008
P161721	15,5	16	0,195	4,26	45,738	38,857	0,572	0,001	0,3	0,005
P161721	16	17	0,219	5,414	37,343	34,779	0,873	0,492	0,384	0,009
P161721	17	18	0,232	5,366	37,504	37,554	0,528	0,131	0,436	0,009
P161721	18	19	0,24	5,306	36,422	38,028	0,155	0,037	0,32	0,009
P161721	19	20	0,247	5,262	34,883	36,811	0,153	0,001	0,44	0,009
P161721	20	21	0,366	5,793	43,087	38,136	0,287	0,001	0,477	0,01
P161527	0	1	0,71	41,335	3,197	1,047	18,29	0,005	2,211	0,093
P161527	1	2	0,709	42,073	3,015	1,135	17,587	0,001	2,208	0,086
P161527	2	3	0,937	41,31	3,89	1,472	14,599	0,001	3,334	0,097
P161527	3	4	0,918	40,687	5,374	2,269	14,567	0,001	2,955	0,086
P161527	4	5	0,834	35,712	11,944	4,858	14,68	0,001	2,629	0,069
P161527	5	6	0,724	30,828	16,611	9,14	13,949	0,001	2,226	0,058
P161527	6	7	1,058	32,904	16,708	11,282	9,467	0,024	2,338	0,069
P161527	7	7,7	0,171	7,345	42,73	7,091	20,115	8,299	0,169	0,007
P161527	7,7	8	1,405	21,951	26,349	10,212	8,131	0,362	1,348	0,043
P161527	8	9	1,812	14,041	37,781	17,753	6,514	1,43	1,157	0,034
P161527	9	10	2,125	13,469	38,243	19,928	4,762	0,558	1,069	0,03
P161527	10	11	1,592	13,728	38,619	19,912	6,86	0,751	0,998	0,029
P161527	11	12	1,413	19,649	40,186	13,542	14,187	0,882	1,324	0,04
P161527	12	13	1,43	22,206	36,756	20,15	11,147	0,519	1,874	0,048
P161527	13	14	2,252	17,831	46,322	29,217	1,062	0,001	1,245	0,045
P161527	14	15	1,616	25,114	31,795	13,988	2,43	0,067	1,664	0,052
P161527	15	16	1,653	9,251	44,232	32,958	0,466	0,001	0,616	0,019
P161527	16	17	1,087	6,237	43,052	35,329	0,329	0,001	0,383	0,011
P161527	17	17,5	0,48	6,701	38,68	19,854	9,793	4,166	0,309	0,009
P161527	17,5	18	0,347	6,366	42,111	35,884	1,133	0,216	0,466	0,012
P161527	18	19	0,333	6,959	40,554	33,762	0,36	0,001	0,398	0,013
P161527	19	20	0,269	5,665	39,687	34,475	0,314	0,001	0,43	0,009
P161527	20	21	0,253	5,479	41,675	35,433	0,212	0,001	0,413	0,009
P161527	21	21,3	0,254	5,657	41,958	36,992	0,299	0,001	0,458	0,009
P161527	21,3	22	0,231	5,291	40,766	35,697	0,481	0,001	0,372	0,009
P161527	22	23	0,249	5,501	41,156	35,78	0,226	0,001	0,343	0,009
P161527	23	24	0,25	5,897	40,227	35,383	0,427	0,016	0,326	0,01
P161519	0	1	0,969	35,27	13,36	3,192	9,145	0,062	2,745	0,077

<i>Hole Id</i>	<i>From (m)</i>	<i>To (m)</i>	<i>Ni (%)</i>	<i>Fe (%)</i>	<i>SiO2 (%)</i>	<i>MgO (%)</i>	<i>Al2O3 (%)</i>	<i>CaO (%)</i>	<i>Cr2O3 (%)</i>	<i>Co (%)</i>
P161519	1	2	0,955	38,338	10,063	1,724	12,231	0,056	2,064	0,078
P161519	2	3	0,954	29,886	16,467	4,854	13,448	0,24	1,847	0,053
P161519	3	4	1,286	35,791	15,839	5,829	8,729	0,097	2,335	0,081
P161519	4	5	1,372	32,336	23,123	8,154	5,198	0,022	2,466	0,068
P161519	5	6	1,372	22,715	33,153	14,705	2,54	0,011	2,546	0,048
P161519	6	6,5	1,658	8,299	40,361	31,998	0,88	0,001	0,697	0,018
P161519	6,5	7	1,845	17,882	44,325	30,511	2,585	0,104	1,296	0,043
P161519	7	8	1,746	22,037	42,29	26,893	3,003	0,179	1,565	0,054
P161519	8	9	1,684	28,299	24,826	10,074	2,874	0,262	2,147	0,061
P161519	9	10	1,866	18,373	45,582	26,685	1,946	0,479	1,557	0,043
P161519	10	11	1,142	9,182	39,432	29,357	0,831	0,143	0,735	0,019
P161519	11	12	0,866	7,438	40,964	31,581	0,857	0,249	0,669	0,015
P161519	12	13	0,719	5,535	39,599	34,673	0,285	0,235	0,352	0,01
P161519	13	14	1,818	8,965	40,979	29,099	0,786	0,193	0,749	0,017
P161519	14	15	1,397	10,662	41,588	28,217	0,905	0,208	0,759	0,022
P161519	15	16	0,359	6	43,102	35,585	0,407	0,054	0,385	0,011
P161519	16	17	0,375	6,102	51,102	43,139	0,248	0,001	0,514	0,012
P161519	17	18	0,422	6,709	42,744	34,341	0,817	0,275	0,515	0,012
P161519	18	19	0,471	6,993	40,826	31,643	0,789	0,326	0,506	0,012
P161519	19	20	0,436	6,727	43,7	34,125	0,449	0,046	0,446	0,012
P161519	20	21	0,459	6,38	42,905	33,297	0,038	0,001	0,487	0,012
P161519	21	22	0,415	6,755	43,258	33,904	0,468	0,001	0,417	0,012
P161519	22	23	0,287	6,007	42,237	35,434	0,621	0,189	0,431	0,01
P161519	23	24	0,297	6,106	42,709	34,992	0,87	0,206	0,456	0,01
P161519	24	25	0,281	5,929	41,342	34,224	0,814	0,247	0,394	0,01
P161727	0	1	0,861	37,29371	7,709	1,092	13,374	0,01	1,775	0,106
P161727	1	2	0,879	37,8504	9,781	1,081	12,87	0,01	1,822	0,118
P161727	2	2,25	1,094	42,55105	7,892	2,583	7,485	0,01	2,331	0,113
P161727	2,25	3	2,065	13,44965	34,428	21,091	3,966	0,64	0,928	0,04
P161727	3	3,3	2,22	9,558	39,241	23,802	2,745	0,574	0,632	0,037
P161727	3,3	4	2,256	12,81539	37,316	25,03	1,357	0,01	0,723	0,036
P161727	4	5	1,88	10,55	39,104	28,368	1,708	0,011	0,717	0,037
P161727	5	6	1,922	12,92	39,746	23,728	1,629	0,011	0,656	0,025
P161727	6	7	1,206	11,92657	39,247	24,304	1,152	0,01	0,647	0,031
P161727	7	8	0,497	7,699301	41,683	32,342	1,009	0,18	0,304	0,013
P161727	8	9	0,426	6,573427	41,247	34,467	0,899	0,01	0,251	0,01
P161727	9	10	0,339	5,997902	42,224	34,93	1,156	0,01	0,285	0,01
P161319	0	1	0,898	48,35944	1,894	1,879	7,607	0,01	2,273	0,097
P161319	1	2	0,983	48,38741	3,393	0,327	8,387	0,178	1,994	0,127
P161319	2	3	1,21	49,669	1,708	0,705	6,043	0,01	2,143	0,131
P161319	3	4	1,438	51,365	2,022	1,198	4,289	0,01	2,526	0,121
P161319	4	5	1,414	49,7594	2,895	0,986	4,8581	0,01	2,463	0,14
P161319	5	6	1,54	53,51	1,971	1,281	2,157	0,01	2,297	0,074

<i>Hole Id</i>	<i>From (m)</i>	<i>To (m)</i>	<i>Ni (%)</i>	<i>Fe (%)</i>	<i>SiO2 (%)</i>	<i>MgO (%)</i>	<i>Al₂O₃ (%)</i>	<i>CaO (%)</i>	<i>Cr₂O₃ (%)</i>	<i>Co (%)</i>
P161319	6	7	1,839	42,214	9,089	5,141	2,911	0,017	1,783	0,195
P161319	7	8	2,518	21,767	29,524	16,985	2,919	0,264	1,589	0,031
P161319	8	8,5	3,058	6,790063	41,312	29,373	1,385	0,01	0,635	0,023
P161319	8,5	9	2,593	13,7552	35,305	23,659	1,438	0,03	1,565	0,065
P161319	9	10	2,382	8,402367	39,361	28,973	1,619	0,057	0,743	0,033
P161319	10	11	2,07	5,480953	40,438	32,833	0,964	0,01	0,482	0,017
P161319	11	12	2,803	10,19463	36,366	25,239	1,435	0,092	1,043	0,043
P161319	12	13	3,199	18,504	33,249	18,456	2,593	0,315	1,521	0,017
P161319	13	14	0,794	7,793	39,964	32,362	1,98	0,977	0,528	0,063
P161319	14	15	2,527	16,747	34,937	20,227	2,567	0,386	1,602	0,021
P161319	15	16	2,258	11,554	38,101	24,799	2,41	0,502	0,931	0,03
P161319	16	17	1,264	6,300553	38,012	31,078	1,845	1,116	0,737	0,019
P161319	17	18	0,613	4,63788	39,719	36,898	1,359	0,658	0,354	0,01
P161319	18	19	0,603	5,623698	39,338	36,093	1,438	0,729	0,384	0,01
P161319	19	20	0,863	6,962937	41,241	34,319	1,369	0,632	0,614	0,01
P161319	20	21	1,152	7,47	39,049	31,788	1,586	0,305	0,393	0,056
P161927	0	0,3	0,833	25,109	26,46	9,909	7,276	0,218	2,246	0,065
P161927	0,3	0,6	1,231	8,256	39,011	30,271	3,078	0,158	0,6	0,053
P161927	0,6	1	1,16	11,323	37,618	27,217	3,761	0,15	0,863	0,043
P161927	1	2	0,841	12,693	39,821	20,505	4,415	1,433	0,889	0,04
P161927	2	3	0,747	10,784	43,544	21,003	4,243	3,103	0,755	0,053
P161927	3	3,5	0,797	9,544	42,895	22,572	3,848	3,335	0,676	0,06
P161927	3,5	4	0,456	8,69	47,862	19,344	4,093	8,257	0,634	0,075
P161927	4	4,5	0,76	10,311	42,314	21,233	3,896	2,814	0,728	0,054
P161927	4,5	5	0,701	7,86993	42,072	29,396	2,849	1,07	0,53	0,011
P161927	5	6	0,301	9,453	43,96	10,326	14,11	1,055	0,253	0,051
P161927	6	7	0,314	11,582	42,976	15,713	7,017	1,928	0,776	0,05
P161927	7	8	0,365	5,429116	43,148	27,533	4,927	1,494	0,515	0,012
P161927	8	9	0,347	5,037899	40,335	32,611	3,284	0,66	0,492	0,012
P161927	9	10	0,349	5,223727	39,769	33,072	3,193	1,301	0,528	0,013
P161317	0	1	0,834	44,7472	5,05	2,264	7,316	0,01	2,522	0,09
P161317	1	2	0,804	46,404	3,618	1,152	8,9422	0,01	2,191	0,076
P161317	2	3	0,874	47,42	2,241	1,082	8,933	0,01	2,163	0,089
P161317	3	4	0,886	48,238	1,934	1,714	8,506	0,01	2,17	0,092
P161317	4	5	1,343	51,774	2,119	0,987	3,938	0,01	2,016	0,142
P161317	5	6	1,333	43,59	8,501	3,059	7,166	0,214	2,464	0,153
P161317	6	7	1,75	40,521	11,344	4,435	5,14	0,233	3,173	0,084
P161317	7	8	1,604	42,596	16,404	3,655	2,339	0,261	2,496	0,114
P161317	8	9	2,19	33,625	20,638	10,967	2,022	0,087	1,591	0,053
P161317	9	10	1,913	18,318	33,943	21,407	2,075	0,532	1,459	0,029
P161317	10	11	1,521	11,825	38,67	27,938	1,934	0,549	0,963	0,038
P161317	11	12	1,523	8,481099	39,245	29,729	1,298	0,385	0,8	0,032
P161317	12	12,6	1,06	8,202	40,233	32,009	1,718	0,092	0,535	0,056

<i>Hole Id</i>	<i>From</i> (m)	<i>To</i> (m)	Ni (%)	Fe (%)	SiO2 (%)	MgO (%)	Al ₂ O ₃ (%)	CaO (%)	Cr ₂ O ₃ (%)	Co (%)
P161317	12,6	13	1,304	6,627219	40,647	33,411	1,145	0,01	0,51	0,023
P161317	13	14	1,634	8,478654	40,78	29,449	1,047	0,01	1,565	0,033
P161317	14	15	1,797	12,41329	36,723	27,182	1,298	0,091	0,969	0,039
P161317	15	16	1,806	11,97343	36,4906	28,162	1,118	0,08	1,644	0,033
P161317	16	17	0,447	6,918182	42,503	36,636	1,394	0,868	0,434	0,01
P161317	17	18	0,803	7,312587	38,987	33,903	1,155	0,276	0,402	0,012
P161317	18	19	0,381	6,795804	39,695	35,846	1,347	0,529	0,372	0,011
P161525	0	1	0,759	44,73427	2,837	0,715	12,877	0,061	2,038	0,1
P161525	1	2	0,762	43,71818	2,214	1,079	14,449	0,069	2,04	0,107
P161525	2	3	0,845	42,27203	3,114	1,092	13,09	0,068	2,721	0,128
P161525	3	4	1,514	15,98042	37,222	16,598	5,572	0,766	1,346	0,046
P161525	4	4,5	1,776	16,86643	39,249	11,079	5,768	0,306	1,632	0,049
P161525	4,5	5	1,452	7,352448	41,73	30,189	2,736	1,826	0,564	0,01
P161525	5	6	1,698	15,88951	37,922	15,182	5,222	0,495	1,321	0,045
P161525	6	7	0,843	7,234965	41,428	30,93	2,9	1,574	0,476	0,01
P161525	7	8	0,991	16,01189	37,458	16,056	5,959	1,334	1,263	0,045
P161525	8	9	1,147	14,7014	41,93	13,47	5,457	0,663	1,189	0,04
P161525	9	10	1,299	9,271329	39,601	27,533	4,009	0,788	0,718	0,019
P161525	10	11	0,421	6,708392	41,003	34,334	2,835	0,895	0,436	0,01
P161525	11	12	1,224	7,790909	40,24	31,131	3,139	0,705	0,608	0,011
P161525	12	13	1,063	7,536364	40,361	30,67	3,233	0,298	0,559	0,011
P161315	0	1	0,998	45,26224	9,417	0,341	5,036	0,087	2,235	0,115
P161315	1	1,6	1,094	41,73427	11,663	3,941	4,705	0,101	2,497	0,112
P161315	1,6	2	0,609	10,73077	38,866	32,683	2,158	0,33	0,806	0,024
P161315	2	3	0,669	13,32098	37,0805	27,55	2,211	0,17	1,188	0,042
P161315	3	4	0,951	17,70629	34,717	21,679	2,775	0,153	1,26	0,056
P161315	4	5	0,527	7,423077	41,097	33,21	1,287	0,528	0,387	0,012
P161315	5	6	0,827	9,406993	40,278	33,161	1,257	0,104	0,774	0,021
P161315	6	7	0,804	8,551748	38,813	32,428	1,347	0,091	0,732	0,017
P161315	7	8	0,441	6,438462	39,258	35,571	0,675	0,051	0,17	0,01
P161315	8	9	0,289	6,451748	35,431	37,418	0,721	0,065	0,206	0,01
P161315	9	10	0,297	6,242657	36,018	37,771	0,631	0,059	0,236	0,01
P161517	0	1	1,167	44,17343	10,51	1,732	4,754	0,098	2,457	0,126
P161517	1	2	1,411	48,6049	6,623	1,116	4,262	0,094	2,457	0,131
P161517	2	3	2,163	36,69231	17,93	5,585	3,481	0,287	1,964	0,107
P161517	3	4	2,731	16,65105	35,958	20,538	2,151	0,258	1,326	0,056
P161517	4	5	1,977	7,753846	41,325	31,556	1,205	0,395	0,483	0,013
P161517	5	6	1,232	7,829371	41,817	31,517	1,607	0,813	0,539	0,014
P161517	6	7	1,664	7,797203	41,084	33,134	0,962	0,617	0,554	0,013
P161115	0	1	0,815	48,0958	4,441	1,324	7,239	0,356	2,314	0,128
P161115	1	2	0,876	50,65944	3,271	0,97	5,319	0,366	2,678	0,147
P161115	2	3	0,324	7,216783	39,653	34,55	0,896	0,355	0,375	0,011
P161115	3	4	0,24	5,959441	39,233	36,748	1,042	0,49	0,387	0,01

<i>Hole Id</i>	<i>From (m)</i>	<i>To (m)</i>	<i>Ni (%)</i>	<i>Fe (%)</i>	<i>SiO2 (%)</i>	<i>MgO (%)</i>	<i>Al₂O₃ (%)</i>	<i>CaO (%)</i>	<i>Cr₂O₃ (%)</i>	<i>Co (%)</i>
P161115	4	5	0,245	5,925175	40,09	35,325	1,206	0,557	0,295	0,01
P161115	5	6	0,267	6,083217	40,468	35,289	0,741	0,382	0,277	0,01
P161113	0	1	0,722	46,56014	3,059	0,902	10,795	0,355	2,174	0,1
P161113	1	2	0,862	47,81678	2,517	0,992	10,021	0,353	2,081	0,112
P161113	2	3	0,988	48,93916	2,851	1,029	8,099	0,364	2,12	0,119
P161113	3	4	1,022	47,99301	3,142	0,86	7,381	0,359	2,653	0,121
P161113	4	5	0,916	46,95245	4,546	2,628	6,093	0,378	2,71	0,113
P161113	5	6	0,357	6,918182	40,236	36,067	1,441	0,607	0,419	0,01
P161113	6	7	0,319	6,514685	38,662	36,297	0,944	0,617	0,238	0,01
P161113	7	8	0,262	6,536364	38,273	37,366	1,229	0,737	0,347	0,01
P161113	8	9	0,229	6,652448	37,808	36,693	1,38	0,793	0,363	0,01
P161325	0	1	0,532	39,05755	9,629	2,504	13,52	0,19	1,951	0,084
P161325	1	2	0,776	35,57133	11,577	5,785	12,188	0,241	2,024	0,095
P161325	2	3	1,347	25,82098	28,644	8,773	5,841	0,356	1,502	0,07
P161325	3	4	1,55	12,82238	41,531	20,767	3,137	0,431	0,838	0,035
P161325	4	4,4	1,545	10,83217	39,376	26,997	2,088	0,22	1,065	0,026
P161325	4,4	5	0,323	6,539161	40,448	33,637	1,739	0,316	0,446	0,01
P161325	5	6	1,033	11,16014	42,382	11,281	13,115	0,607	0,592	0,024
P161325	6	6,7	0,995	18,53357	38,234	11,223	5,454	0,629	1,507	0,053
P161325	6,7	7	1,332	8,88042	39,998	29,781	1,901	0,249	0,521	0,018
P161325	7	8	0,469	6,768531	40,315	34,96	1,668	0,317	0,477	0,01
P161325	8	9	0,262	7,140559	41,012	32,633	2,577	0,421	0,51	0,01
P161325	9	10	0,26	7,15035	40,647	31,747	2,641	0,374	0,481	0,011
P161323	0	1	0,616	33,95105	14,749	5,161	12,027	0,204	2,006	0,077
P161323	1	2	0,729	33,72587	12,971	7,415	12,592	0,207	2,175	0,081
P161323	2	3	0,761	30,72308	17,848	10,505	10,758	0,339	2,214	0,081
P161323	3	4	1,217	19,27133	33,029	15,268	6,17	0,616	1,743	0,054
P161323	4	4,5	0,904	7,46993	40,609	30,645	3,482	0,795	0,57	0,011
P161323	4,5	5	1,358	15,73566	37,475	15,516	5,87	0,865	1,383	0,043
P161323	5	6	1,481	12,42727	38,403	20,098	5,931	0,428	1,005	0,032
P161323	6	7	1,461	11,17972	40,128	22,191	4,444	0,737	0,907	0,026
P161323	7	8	1,05	11,42028	41,132	23,815	4,511	0,546	0,874	0,026
P161323	8	9	0,668	7,997203	39,943	30,55	3,385	0,798	0,553	0,013
P161323	9	10	0,322	7,292308	40,202	32,878	2,321	0,396	0,568	0,011
P161323	10	11	0,221	6,664336	40,669	33,066	2,742	0,473	0,462	0,01
P161323	11	11,5	0,39	7,06014	40,539	32,186	3,066	0,476	0,516	0,01
P161323	11,5	12	0,232	6,815385	40,656	32,518	2,515	0,309	0,47	0,01
P161323	12	13	0,883	9,198601	41,212	26,059	3,61	0,398	0,723	0,019
P161323	13	14	0,715	7,732867	40,644	30,558	2,867	0,714	0,594	0,013
P161323	14	15	0,63	8,387413	40,364	29,941	2,885	0,532	0,648	0,016
P161323	15	16	0,555	7,52028	41,582	32,016	2,272	0,607	0,45	0,012
P161323	16	17	0,33	7,011189	42,135	31,779	1,9	0,69	0,433	0,01
P161127	0	1	0,447	38,71748	7,762	1,529	15,661	0,174	1,784	0,066

<i>Hole Id</i>	<i>From</i> (m)	<i>To</i> (m)	Ni (%)	Fe (%)	SiO2 (%)	MgO (%)	Al ₂ O ₃ (%)	CaO (%)	Cr ₂ O ₃ (%)	Co (%)
P161127	1	2	0,494	41,16783	5,424	1,321	14,51	0,185	2,126	0,079
P161127	2	3	0,502	42,65944	4,114	2,43	12,341	0,173	2,312	0,1
P161127	3	4	0,514	43,77972	4,071	1,341	12,432	0,174	2,315	0,105
P161127	4	5	0,503	42,3958	5,586	2,563	12,527	0,186	2,415	0,093
P161127	5	6	0,66	32,54126	18,226	6,844	9,801	1,013	2,2	0,079
P161127	6	7	1,235	17,44196	38,178	15,188	4,381	1,286	1,184	0,052
P161127	7	8	1,376	12,21539	39,891	25,146	3,344	0,229	0,735	0,032
P161127	8	9	1,38	10,48881	38,871	29,48	2,423	0,32	0,747	0,03
P161127	9	10	1,702	14,87902	39,494	20,601	2,566	0,584	1,001	0,042
P161127	10	11	1,456	13,51678	41,072	18,931	3,54	0,785	0,767	0,036
P161127	11	12	1,153	9,942657	40,495	28,413	2,49	0,271	0,63	0,025
P161127	12	13	0,595	8,132168	39,908	33,097	1,429	0,241	0,552	0,016
P161127	13	14	0,273	7,717483	41,17	31,404	3,006	0,742	0,558	0,012
P161127	14	15	0,257	7,583217	41,035	32,271	2,604	0,944	0,516	0,011
P161127	15	16	0,444	8,943357	40,512	26,48	4,74	1,381	0,552	0,016
P161127	16	17	0,363	8,764336	40,24	27,838	5,542	0,915	0,503	0,016
P161127	17	18	0,356	9,303497	40,376	28,321	3,878	0,5	0,685	0,017
P161327	0	1	0,508	41,0042	4,7	0,903	14,653	0,173	2,1	0,076
P161327	1	2	0,53	42,94266	2,882	1,149	15,041	0,164	2,24	0,089
P161327	2	3	0,521	44,72867	2,828	1,173	13,316	0,175	2,328	0,109
P161327	3	4	0,393	31,77343	13,857	2,088	19,565	0,187	1,662	0,069
P161327	4	5	0,445	38,68532	11,659	4,012	12,305	0,206	2,282	0,085
P161327	5	6	0,456	34,45385	13,35	10,365	11,517	0,229	2,068	0,087
P161327	6	7	0,506	30,8028	17,412	13,1	9,507	0,298	2,045	0,071
P161327	7	8	1,252	16,34056	35,852	13,382	8,056	0,651	1,257	0,047
P161327	8	9	1,102	19,71958	32,49	10,402	9,677	0,607	1,514	0,055
P161327	9	10	0,724	27,34126	24,192	11,192	7,67	0,926	1,916	0,066
P161327	10	11	1,26	19,84196	34,976	10,471	6,056	0,905	1,584	0,056
P161327	11	12	1,238	21,36084	37,454	6,63	5,602	0,778	1,52	0,059
P161327	12	13	1,106	17,34755	38,811	11,116	5,674	1,12	1,414	0,05
P161327	13	14	1,027	22,22378	32,949	8,484	7,561	0,631	1,849	0,062
P161327	14	15	0,7	19,88601	29,174	11,046	12,666	0,681	1,416	0,048
P161327	15	16	0,908	25,73986	27,287	7,65	7,989	0,415	2,096	0,072
P161327	16	17	0,955	22,2028	29,719	11,347	8,028	0,709	1,655	0,06
P161327	17	18	1,01	22,1049	31,89	10,38	6,781	1,773	1,695	0,059
P161327	18	19	0,84	21,11608	31,058	13,488	6,795	0,887	1,657	0,053
P161327	19	20	1,117	13,27413	40,163	19,993	4,226	0,91	0,965	0,034
P161327	20	21	0,846	8,175524	40,984	30,375	3,093	0,995	0,618	0,013
P161327	21	22	0,382	7,604895	41,43	31,858	3,102	1,06	0,506	0,012
P161327	22	23	0,654	7,42028	40,59	33,082	2,798	0,938	0,418	0,011
P161331	0	1	0,647	44,39091	3,265	2,342	12,05	0,058	0,52	0,085
P161331	1	2	0,748	43,48811	2,871	1,951	13,504	0,07	0,588	0,094
P161331	2	3	0,937	43,13217	3,801	1,519	12,638	0,067	0,643	0,106

<i>Hole Id</i>	<i>From (m)</i>	<i>To (m)</i>	<i>Ni (%)</i>	<i>Fe (%)</i>	<i>SiO2 (%)</i>	<i>MgO (%)</i>	<i>Al2O3 (%)</i>	<i>CaO (%)</i>	<i>Cr2O3 (%)</i>	<i>Co (%)</i>
P161331	3	4	1,049	39,65594	6,617	2,185	12,404	0,036	0,436	0,096
P161331	4	5	1,282	38,10629	7,139	2,497	13,174	0,076	0,444	0,109
P161331	5	6	1,099	39,24546	9,662	2,864	12,131	0,078	0,335	0,097
P161331	6	7	0,704	14,12727	38,317	12,656	12,906	2,518	0,405	0,031
P161331	7	8	1,441	12,56294	35,138	28,048	1,837	0,132	0,049	0,036
P161331	8	9	1,025	6,632867	38,917	36,145	0,928	0,055	0,01	0,01
P161331	9	10	1,229	9,148951	38,643	30,576	2,074	0,167	0,038	0,02
P161331	10	11	0,775	8,693706	38,678	31,262	2,164	0,32	0,031	0,017
P161331	11	12	0,682	8,825874	39,623	30,409	2,157	0,158	0,056	0,017
P161331	12	13	0,496	8,641958	39,622	29,483	2,5	0,663	0,048	0,017
P161331	13	14	0,472	9,001399	39,546	30,17	2,419	0,132	0,034	0,018
P161331	14	15	0,763	13,37832	40,795	20,585	4,591	0,184	0,105	0,036
P161331	15	16	0,475	8,995804	40,593	30,038	2,387	0,133	0,04	0,018
P161331	16	17	0,496	8,633566	39,411	29,234	3,235	0,382	0,063	0,017
P161331	17	18	0,513	7,274825	37,929	33,749	2,736	0,428	0,041	0,011
P161331	18	19	0,392	7,021678	39,57	33,686	2,684	0,931	0,062	0,01
P161331	19	20	0,249	7,015385	40,178	35,931	2,364	1,597	0,032	0,01
P161329R	0	1	0,694	43,73776	2,653	0,713	12,976	0,073	2,021	0,09
P161329R	1	2	0,828	45,11399	2,401	0,916	12,652	0,078	2,447	0,102
P161329R	2	3	0,85	41,88532	2,731	0,628	15,011	0,051	2,636	0,102
P161329R	3	4	1,043	44,58182	4,378	0,772	11,751	0,068	2,92	0,094
P161329R	4	5	0,981	39,1972	8,236	0,592	13,579	0,076	2,38	0,096
P161329R	5	6	1,01	43,48532	7,052	1,195	10,876	0,07	2,388	0,105
P161329R	6	7	0,68	27,36224	21,297	2,057	18,964	0,076	1,622	0,075
P161329R	7	8	1,238	30,62028	18,508	9,937	8,185	0,79	2,186	0,088
P161329R	8	9	2,701	12,1028	38,039	22,385	3,609	0,805	0,924	0,032
P161329R	9	10	2,555	11,16434	37,936	25,535	2,935	0,789	0,772	0,026
P161329R	10	11	2,01	13,45245	37,611	20,755	3,986	0,851	1,038	0,035
P161329R	11	12	2,04	12,88601	39,239	20,678	4,348	0,336	0,853	0,035
P161329R	12	13	1,581	11,57343	38,151	24,528	4,373	1,271	0,959	0,027
P161329R	13	14	1,194	11,53497	41,182	14,533	11,908	2,159	0,581	0,022
P161329R	14	15	0,248	7,843357	45,627	12,659	15,137	6,628	0,081	0,01
P161329R	15	15,5	0,918	7,72028	41,805	28,29	4,262	2,499	0,506	0,013
P161329R	15,5	16	1,415	12,96224	38,029	20,755	4,685	1,251	1,027	0,033
P161329R	16	17	0,751	8,586713	39,418	28,935	3,167	1,812	0,616	0,017
P161329R	17	18	0,488	10,57483	39,909	26,45	3,547	1,895	0,808	0,022
P161329R	18	19	0,484	8,492308	40,78	30,787	2,72	1,07	0,579	0,016
P161329R	19	20	0,248	7,508392	39,194	32,303	2,52	1,646	0,479	0,011
P161329R	20	21	0,222	6,811888	38,603	35,381	2,446	0,802	0,435	0,01
P161329R	21	22	0,216	6,723077	39,473	33,896	2,704	1,229	0,442	0,01
P160920	0	1	0,8	51,04	29,45	2,05	11,23	0,05	1,79	0,09
P160920	1	2	0,83	48,95	25,83	1,6	16,47	0,03	1,5	0,09
P160920	2	3	1,41	31,62	36,72	10,66	8,84	0,42	1,64	0,06

<i>Hole Id</i>	<i>From (m)</i>	<i>To (m)</i>	Ni (%)	Fe (%)	SiO2 (%)	MgO (%)	Al ₂ O ₃ (%)	CaO (%)	Cr ₂ O ₃ (%)	Co (%)
P160920	3	4	1,42	28,43	37,78	8,68	7,55	0,59	1,55	0,05
P160920	4	5	1,39	26,3	40,79	12,55	7,88	0,51	1,58	0,05
P160920	5	6	1,61	19,52	43,61	18,69	6,2	0,67	1,27	0,03
P160920	6	7	1,75	15,16	45,27	22,85	5,78	0,37	0,73	0,03
P160920	7	8	1,83	19,66	43,88	16,51	4,6	0,11	0,88	0,03
P160920	8	9	1,95	20,11	44,23	18,3	4,84	0,1	0,81	0,04
P160920	9	10	1,38	12,67	35,03	15,6	2,32	0,13	0,62	0,02
P160920	10	11	1,23	16,19	44,28	25,74	3,84	0,13	0,58	0,03
P160920	11	12	0,39	8,85	43,98	33,88	3,03	0,32	0,38	0,01
P160920	12	13	0,31	9,2	41,24	27,88	2,62	0,6	0,27	0,02
P161020	0	1	0,64	43,93	30,72	1,03	17,43	0,04	1,87	0,08
P161020	1	2	0,65	38,97	31,77	0,39	23,04	0,04	0,87	0,07
P161020	2	3	0,9	54,89	23,67	1,39	13,98	0,02	1,52	0,11
P161020	3	4	0,85	58,84	21,47	2,49	11,6	0,01	1,77	0,1
P161020	4	5	0,94	57,21	20,34	2,69	9,85	0,01	1,75	0,11
P161020	5	6	1,08	44,28	31,7	9,14	10,81	0,07	1,73	0,09
P161020	6	7	1,84	18,95	43,83	23,05	4,9	0,23	0,9	0,03
P161020	7	8	1,58	20,67	43	19,74	5,73	0,11	0,87	0,04
P161020	8	9	1,34	15,03	44,83	26,38	3,82	0,17	0,61	0,03
P161020	9	10	0,99	14,22	43,09	22,3	3,98	0,61	0,6	0,02
P161020	10	11	0,79	15,17	40,79	19,62	2,81	0,21	0,7	0,03
P161020	11	12	0,86	14,27	46,48	28,28	4,57	0,39	0,67	0,02
P161020	12	13	0,44	10,23	42,14	29,29	2,36	0,31	0,43	0,02
P161020	13	14	0,35	9,08	42,89	30,19	3,2	0,7	0,35	0,02
P161120	0	1	0,54	38,53	30,62	0,58	18,87	0,03	1,21	0,07
P161120	1	2	0,81	50,56	23,96	1,71	13,29	0,02	1,42	0,1
P161120	2	3	0,8	58,04	21,1	1,71	13,16	0,01	1,83	0,1
P161120	3	4	0,89	61,06	19,67	1,06	11,59	0,01	1,62	0,11
P161120	4	5	0,96	62,94	18,91	0,6	9,39	0	1,92	0,1
P161120	5	6	0,95	40,2	29,62	10,77	10,85	0,2	1,9	0,07
P161120	6	7	1,01	18,03	39,96	23,15	5,67	0,1	0,91	0,03
P161120	7	8	0,96	18,55	41,72	23	4,95	0,16	0,86	0,03
P161120	8	9	0,65	11,16	42,12	28,89	3,47	0,43	0,45	0,02
P161120	9	10	0,41	9,34	42,23	31,2	3,08	0,47	0,38	0,02
P161220	0	1	0,76	52,48	25,82	1,63	10,89	0,02	2,09	0,09
P161220	1	2	0,96	50,09	24,03	4,85	10,02	0,03	1,76	0,1
P161220	2	3	1,26	46,06	28,86	10,59	8,22	0,02	1,78	0,08
P161220	3	4	1,56	19,78	40,61	23,06	2,91	0,07	1,1	0,04
P161220	4	5	0,31	7,92	43,09	36,08	1,23	0,05	0,19	0,01
P161220	5	6	1,07	13,13	42,37	27,45	1,73	0,05	0,43	0,02
P161220	6	7	0,6	10,89	43,72	31,66	1,69	0,06	0,45	0,02
P161220	7	8	0,3	8,22	43,93	35,79	1,48	0,04	0,4	0,01
P161220	8	9	0,3	8,17	45,67	38,98	1,4	0,04	0,33	0,01

<i>Hole Id</i>	<i>From</i> (m)	<i>To</i> (m)	Ni (%)	Fe (%)	SiO2 (%)	MgO (%)	Al ₂ O ₃ (%)	CaO (%)	Cr ₂ O ₃ (%)	Co (%)
P161220	9	10	0,3	8,02	44,03	36,33	1,49	0,06	0,39	0,01
P161220	10	11	0,29	7,4	43,59	37,12	1,58	0,53	0,34	0,01
P161220	11	12	0,29	7,86	42,09	34,11	1,46	0,76	0,36	0,01
P161220	12	13	0,29	7,35	43,49	35,78	1,2	0,05	0,16	0,01
P161220	13	14	1,46	19,12	39,81	21,79	2,6	0,05	0,94	0,03
P161220	14	15	0,37	8,32	42,78	34,46	1,03	0,04	0,17	0,01
P161220	15	16	0,31	7,57	43,77	35,17	1,09	0,04	0,11	0,01
P161220	16	17	0,32	7,97	43,06	34,46	1,35	0,05	0,23	0,01
P161220	17	18	0,32	7,74	42,61	33	1,56	0,05	0,2	0,01
P161220	18	19	0,31	7,91	43,3	35,01	1,81	0,08	0,21	0,01
P161220	19	20	0,3	7,74	44,01	35,5	1,86	0,12	0,16	0,01
P161219	0	1	0,92	64,66	17,86	1,81	6,82	0	1,78	0,1
P161219	1	2	0,46	33,84	15,69	0,04	2,56	0	1,76	0,06
P161219	2	3	0,51	33,57	15,72	0	2,35	0	2,09	0,06
P161219	3	4	0,5	32,43	15,86	0,27	2,3	0,01	2,59	0,07
P161219	4	5	0,97	53,41	16,38	0,32	2,97	0	2,28	0,1
P161219	5	6	1,32	64,65	17,03	0,54	4,77	0	2,06	0,14
P161219	6	7	1,25	66,38	17,53	1,81	5,31	0	2	0,15
P161219	7	8	1,31	65,28	17,32	1,38	5,49	0	2	0,17
P161219	8	9	1,29	65,84	18,33	1,96	4,62	0	2,11	0,13
P161219	9	10	1,28	69,3	18,71	1,7	3,32	0	1,42	0,11
P161219	10	11	1,37	52,61	22,63	7,16	2,17	0,1	1,36	0,09
P161219	11	12	2,49	13,54	39,33	26,16	1,7	0,27	0,39	0,02
P161219	12	13	2,02	13,35	39,89	27,8	0,89	0,04	0,16	0,02
P161219	13	14	1,85	16,45	39,89	27,22	0,72	0,03	0,18	0,03
P161219	14	15	1,63	13,32	40,81	28,61	1,31	0,16	0,4	0,02
P161219	15	16	1,78	16,85	41,56	26,7	1,51	0,12	0,68	0,03
P161219	16	17	2,13	22,04	37,89	22,5	1,41	0,19	1,56	0,04
P161219	17	18	0,95	9,67	39,79	30,96	1,31	0,46	0,41	0,02
P161219	18	19	1,93	36,27	32,69	17,43	2,31	0,18	2,09	0,06
P161219	19	20	2,01	29,27	36,34	17,84	2,93	0,31	1,66	0,05
P161219	20	21	1,49	14,59	40,81	28,18	1,26	0,11	0,48	0,03
P161219	21	22	1,44	12,28	41,84	29,74	0,94	0,11	0,44	0,02
P161219	22	23	2,1	29,11	36,1	19,04	1,89	0,28	1,03	0,05
P161219	23	24	2,12	22,4	33,8	17,83	1,41	0,24	0,67	0,04
P161219	24	25	2,41	25,3	38,29	24,06	1,18	0,04	0,9	0,05
P161219	25	26	1,72	11,04	38,89	25,95	1,2	0,29	0,39	0,02
P161219	26	27	1,19	9,56	41,4	31,21	1,38	0,57	0,31	0,02
P161219	27	28	0,62	8,73	41,26	31,61	1,51	0,64	0,36	0,01
P161118	0	1	0,83	62,81	16,97	0,96	7,13	0	2,08	0,09
P161118	1	2	0,84	61,39	16,75	0,79	6,73	0	1,62	0,1
P161118	2	3	1,07	68,14	17,02	1,42	6,14	0	1,91	0,1
P161118	3	4	1,06	66,26	16,75	1	5,25	0	1,67	0,1

<i>Hole Id</i>	<i>From (m)</i>	<i>To (m)</i>	Ni (%)	Fe (%)	SiO2 (%)	MgO (%)	Al ₂ O ₃ (%)	CaO (%)	Cr ₂ O ₃ (%)	Co (%)
P161118	4	5	1,18	67,4	16,9	1,16	5,84	0	2,13	0,14
P161118	5	6	1,15	65,79	16,91	1,5	4,26	0,01	1,51	0,12
P161118	6	7	1,22	67,15	16,76	0,66	3,44	0	2	0,11
P161118	7	8	1,27	60,56	16,84	1	4,58	0,01	1,99	0,22
P161118	8	9	1,12	59,22	18,15	1,71	5,99	0,01	2,25	0,25
P161118	9	10	1,2	67,08	17,42	1,6	3,1	0	2,1	0,1
P161118	10	11	0,94	62,92	18,12	0,61	1,62	0	0,98	0,08
P161118	11	12	2,36	24,82	36,28	24,59	1,74	0,05	1,16	0,06
P161118	12	13	2,81	20,82	38,15	24,42	1,98	0,16	0,83	0,04
P161118	13	14	2,8	29,07	31,22	17,33	1,22	0,11	0,97	0,05
P161118	14	15	0,37	9,04	35,88	28,26	1,18	0,24	0,28	0,02
P161118	15	16	0,32	8,66	36,97	26,91	2,56	1,15	0,29	0,01
P161118	16	17	0,32	8,09	37,66	29,83	1,23	0,33	0,18	0,01
P161218	0	1	0,79	64	17,12	0,79	7,95	0,02	1,9	0,1
P161218	1	2	0,76	62,52	16,62	0,97	8,25	0,01	1,96	0,1
P161218	2	3	0,91	65,91	16,79	1	8,27	0	1,77	0,12
P161218	3	4	1,07	65,75	16,99	0,96	6,02	0	2,2	0,13
P161218	4	5	1,12	64,88	17,24	1,84	5,59	0	1,85	0,14
P161218	5	6	1,03	66,22	16,97	0,89	3,49	0	1,94	0,1
P161218	6	7	1,17	63,07	16,98	0,54	5,54	0	2,36	0,14
P161218	7	8	1,11	64,82	18,87	1,12	3,39	0	1,73	0,1
P161218	8	9	1,1	67,32	18,96	1,38	1,84	0	0,92	0,08
P161218	9	10	1,13	64,87	18,93	1,28	2,43	0	1,59	0,11
P161218	10	11	2,68	25,24	34,95	20,8	2,31	0,2	1,12	0,06
P161218	11	12	2,22	13,34	34,81	23,04	1,53	0,27	0,44	0,03
P161218	12	13	2,23	10,5	39,63	28,17	1,46	0,3	0,3	0,02
P161218	13	14	0,61	8,76	38,88	31,16	1,13	0,43	0,24	0,01
P161318	0	1	0,78	62,45	17,85	1,13	8,34	0	1,73	0,09
P161318	1	2	0,71	55,86	16,58	0,67	6,7	0,01	1,96	0,09
P161318	2	3	0,78	59,16	16,58	0,18	7,57	0	1,73	0,09
P161318	3	4	0,89	59,52	16,66	0,49	5,45	0,01	1,62	0,08
P161318	4	5	1,09	62,43	17,5	1,62	4,88	0	1,99	0,09
P161318	5	6	1,12	62,83	16,91	0,74	3,29	0	1,47	0,08
P161318	6	7	1,06	68,05	17,82	1,92	2,43	0	0,82	0,08
P161318	7	8	1,17	67,1	17,11	1,68	1,62	0,01	1,23	0,07
P161318	8	9	1,2	61,01	17,92	1,86	3,05	0,01	1,19	0,17
P161318	9	10	1,61	63,74	19,8	2,22	4,04	0,01	1,1	0,12
P161318	10	11	1,53	21,51	34,81	21,01	1,77	0,16	0,84	0,04
P161318	11	12	2,16	16,69	35,67	19,98	1,45	0,2	0,65	0,04
P161318	12	13	1,01	9,85	36,98	25,93	1,29	0,27	0,31	0,02
P161318	13	14	0,68	9,02	36,28	24,04	1,28	0,22	0,26	0,01
P161318	14	15	1,02	9,76	38,92	27,25	1,29	0,28	0,38	0,02
P161318	15	16	0,56	9,28	38	27,6	1,24	0,36	0,29	0,02

<i>Hole Id</i>	<i>From</i> (m)	<i>To</i> (m)	Ni (%)	Fe (%)	SiO2 (%)	MgO (%)	Al ₂ O ₃ (%)	CaO (%)	Cr ₂ O ₃ (%)	Co (%)
P161419	0	1	0,68	57,37	19,99	0,58	10,87	0	1,93	0,09
P161419	1	2	0,69	57,84	17,91	0,73	10,67	0,01	1,84	0,1
P161419	2	3	0,76	59,1	18,53	0,98	12,2	0,01	1,66	0,1
P161419	3	4	0,95	61,56	17,82	1,45	7,38	0,02	1,87	0,1
P161419	4	5	1,12	62,46	17,94	1,36	7,06	0	1,9	0,12
P161419	5	6	1,14	64,31	17,99	1,19	5,51	0	2,15	0,13
P161419	6	7	1,11	65,65	18,6	2,85	5,54	0	1,75	0,11
P161419	7	8	0,91	47,79	30,27	2,33	3,34	0,02	1,45	0,08
P161419	8	9	0,78	33,85	42,86	0,43	1,51	0,02	1,17	0,06
P161419	9	10	1,16	48,22	29,06	1,59	1	0,02	0,83	0,08
P161419	10	11	2,01	31,81	36,82	13,93	1,3	0,03	1,73	0,06
P161419	11	12	2,34	23,76	37,82	20,75	1,74	0,07	0,76	0,04
P161419	12	13	2,19	25,02	38,53	21,67	2,59	0,25	1,03	0,04
P161419	13	14	1,18	13,15	40,4	28,57	1,7	0,12	0,57	0,02
P161419	14	15	0,63	10,64	40,13	28,51	1,37	0,3	0,26	0,02
P161419	15	16	0,71	13,74	43,63	27,43	1,33	0,08	0,54	0,02
P161419	16	17	0,48	9,45	43,72	34,67	1,24	0,08	0,19	0,02
P161419	17	18	0,89	12,01	41,5	27,82	1,34	0,11	0,44	0,02
P161419	18	19	1,36	16,69	41,26	24,09	1,89	0,32	0,51	0,03
P161419	19	20	1,2	15,37	41,82	28,22	1,25	0,13	0,46	0,03
P161419	20	21	0,89	10,59	40,94	28,85	1,09	0,14	0,09	0,02
P161419	21	22	0,85	9,76	40,61	29,32	1,25	0,25	0,17	0,02
P161418	0	1	0,8	55,58	17,83	0,6	6,59	0,02	1,93	0,09
P161418	1	2	0,99	57,87	16,93	0,73	5,98	0,01	1,77	0,09
P161418	2	3	0,82	58,4	17,23	0,89	7,87	0,01	1,74	0,09
P161418	3	4	0,85	55,53	18,38	1,98	10,04	0,01	1,99	0,08
P161418	4	5	1,84	43,04	27,85	10,51	2,34	0,09	0,72	0,07
P161418	5	6	1,61	49,91	24,85	6,13	2,63	0,1	1,75	0,08
P161418	6	7	1,83	46,25	25,34	6,6	2,43	0,05	1,58	0,08
P161418	7	8	2,18	31,73	33,1	15,62	2,29	0,22	1,11	0,05
P161418	8	9	0,92	19,71	21,35	3,91	1,34	0,12	0,98	0,03
P161418	9	10	0,76	13,56	19,67	2,75	0,81	0,08	0,37	0,02
P161418	10	11	1,06	16,96	22,25	4,83	1,05	0,22	0,7	0,03
P161418	11	12	0,31	6,87	29,29	16,62	1,09	0,29	0,19	0,01
P161418	12	13	2	18,92	38,24	22,7	2,76	0,29	0,78	0,03
P161418	13	14	1,89	20,51	38,18	23,3	1,64	0,07	0,74	0,04
P161418	14	15	1,7	18,04	40,15	26,84	1,12	0,04	0,06	0,03
P161418	15	16	0,78	12,13	37,58	23,7	1,08	0,05	0,34	0,02
P161418	16	17	0,61	9,36	40,93	28,43	0,96	0,06	0,27	0,02
P161418	17	18	0,46	7,95	37,02	25,38	0,96	0,07	0,21	0,01
P161418	18	19	0,3	7,16	35,73	23,4	0,89	0,06	0,65	0,01
P161418	19	20	0,31	7,95	39,72	28,76	1,25	0,11	0,24	0,01
P161221	0	1	0,44	36,56	31,92	1,26	18,66	0,06	1,29	0,06

<i>Hole Id</i>	<i>From</i> (m)	<i>To</i> (m)	Ni (%)	Fe (%)	SiO2 (%)	MgO (%)	Al2O3 (%)	CaO (%)	Cr2O3 (%)	Co (%)
P161221	1	2	0,58	39,79	29,39	1,3	21,94	0,09	1,2	0,09
P161221	2	3	0,47	21,21	38,68	1,09	27,07	0,07	0,15	0,05
P161221	3	4	0,4	24,9	38,74	0,66	26,97	0,06	0,31	0,05
P161221	4	5	0,78	29,54	36,79	1,47	24,05	0,05	0,68	0,07
P161221	5	6	0,88	46,7	27,51	4,6	15,38	0,06	1,77	0,08
P161221	6	7	0,94	45,98	25,9	4,45	14,13	0,06	2,54	0,1
P161221	7	8	0,84	47,32	27,47	4,58	16,07	0,07	1,64	0,08
P161221	8	9	0,94	44,08	27,61	5,32	12,95	0,26	1,87	0,08
P161221	9	10	1,03	24,64	37,45	16,95	7,57	0,5	1,3	0,05
P161221	10	11	0,73	12,49	40,41	26,53	4,01	0,44	0,53	0,02
P161221	11	12	0,35	9,19	43,51	33,68	2,26	0,14	0,33	0,02
P161518	0	1	0,89	56,37	21,03	1,86	6,79	0,05	2,38	0,1
P161518	1	2	0,94	61,14	18,47	1,53	7,49	0,01	1,52	0,11
P161518	2	3	1,12	51,87	20,86	2,56	3,67	0,06	1,57	0,09
P161518	3	4	1,72	23,61	40,8	24,15	3,25	0,37	0,94	0,04
P161518	4	5	1,86	17,98	42,65	29,51	2,1	0,09	0,59	0,03
P161518	5	6	1,48	13,98	36,86	21,08	1,2	0,16	0,59	0,02
P161518	6	7	1,63	19,75	35,79	19,66	1,42	0,32	0,46	0,04
P161518	7	8	1,02	14,45	38,64	23,08	1,63	0,17	0,51	0,03
P161518	8	9	0,44	9,15	41,04	29,12	1,5	0,09	0,1	0,02
P161518	9	10	0,76	10,92	45,59	33,67	0,99	0,05	0,17	0,02
P161518	10	11	0,58	10,71	40,05	28,44	1,03	0,09	0,25	0,02
P161518	11	12	0,46	8,07	36,69	24,34	0,79	0,05	0,07	0,01
P161618	0	1	0,86	57,93	21,47	1,52	6,59	0,01	1,91	0,09
P161618	1	2	0,87	61,09	17,8	1,07	7,4	0,01	1,74	0,1
P161618	2	3	0,99	62,47	17,98	0,75	7,62	0,01	1,76	0,1
P161618	3	4	1,45	58,24	20,56	2,26	5,74	0,12	1,63	0,1
P161618	4	5	1,81	59,8	21,59	2,58	5,38	0,04	1,63	0,1
P161618	5	6	1,8	50,97	23,39	4,99	4,67	0,31	1,81	0,09
P161618	6	7	2,33	38,37	29,05	11,66	2,34	0,17	1,41	0,07
P161618	7	8	2,39	17,55	38,11	23,26	1,44	0,24	0,67	0,03
P161618	8	9	2,9	17,4	39,88	25,64	1,63	0,31	0,51	0,03
P161618	9	10	2,62	13,86	41,66	28,63	1,54	0,26	0,45	0,02
P161618	10	11	2,39	14,75	36,27	21,19	1,04	0,14	0,49	0,03
P161618	11	12	2,49	19,33	37,71	23,55	1,18	0,07	0,34	0,03
P161618	12	13	2,2	19,59	38,45	24,31	1,19	0,07	0,42	0,04
P161618	13	14	2,15	29,81	34,05	18,61	1,34	0,08	0,58	0,05
P161618	14	15	2,51	22,63	39,47	24,1	2,35	0,25	0,83	0,04
P161618	15	16	2,5	17,09	41,17	25,75	1,96	0,39	0,54	0,03
P161618	16	17	2,08	22,93	37,51	21,77	2,4	0,49	1,01	0,04
P161618	17	18	1,98	21,38	40,04	25,35	2,41	0,38	0,85	0,04
P161618	18	19	1,74	16,78	36,36	21,51	1,72	0,42	0,75	0,03
P161618	19	20	1,83	12,46	41,85	27,92	1,12	0,22	0,14	0,02

<i>Hole Id</i>	<i>From</i> (m)	<i>To</i> (m)	Ni (%)	Fe (%)	SiO2 (%)	MgO (%)	Al ₂ O ₃ (%)	CaO (%)	Cr ₂ O ₃ (%)	Co (%)
P161618	20	21	2,12	17,26	37,83	22,56	1,12	0,07	0,61	0,03
P161618	21	22	0,79	11,14	39,99	28,47	1,08	0,05	0,06	0,02
P161618	22	23	0,35	7,31	41,95	31,13	1,06	0,11	0,23	0,01
P161619	0	1	0,93	52,17	19,72	1,79	8,29	0	0,06	2
P161619	1	2	1	53,84	18,14	1,05	6,36	0	0,01	1,58
P161619	2	3	0,97	49,18	23,7	4,16	10,58	0	0,23	1,63
P161619	3	4	1,53	56,5	23,09	2,95	2,37	0	0,07	0,67
P161619	4	5	1,17	42,03	29,62	4,78	2,42	0	0,16	1,58
P161619	5	6	1,53	31,5	35,53	15,7	2,04	0	0,07	0,81
P161619	6	7	1,9	25,27	41,03	25,51	2,62	0	0,15	0,75
P161619	7	8	1,64	21,27	42,68	29,45	1,69	0	0,08	0,33
P161619	8	9	1,23	20,36	43,36	27,96	1,31	0	0,07	0,39
P161619	9	10	1,14	19,39	42,83	28,22	1,03	0	0,03	0,29
P161619	10	11	1,44	17,08	40,84	28,05	0,95	0	0,06	0,06
P161619	11	12	1,19	19,84	41	27,51	1,34	0	0,08	0,53
P161619	12	13	0,74	14,84	42,79	29,97	1,56	0	0,15	0,3
P161619	13	14	0,42	9,25	40,49	29,21	1,05	0	0,13	0,13
P161619	14	15	0,46	9,58	40,84	28,26	1,1	0	0,17	0,16
P161619	15	16	0,49	10,19	41,29	28,93	1,61	0	0,48	0,28

LAMPIRAN H
DATA *GEOLOGY*

LAMPIRAN H
DATA GEOLOGY

<i>Hole Id</i>	<i>From (m)</i>	<i>To (m)</i>	<i>Lithology</i>
P161915	0	0,5	LIM
P161915	0,5	1	SAP
P161915	1	2	SAP
P161915	2	2,5	SAP
P161915	2,5	3	SAP
P161915	3	4	SAP
P161915	4	4,5	SAP
P161915	4,5	5	SAP
P161915	5	6	SAP
P161915	6	7	SAP
P161915	7	8	SAP
P161915	8	9	SAP
P161915	9	10	SAP
P161915	10	11	SAP
P161915	11	12	SAP
P161915	12	13	SAP
P161915	13	14	BRK
P161915	14	15	BRK
P161915	15	16	BRK
P161515	0	1	LIM
P161515	1	2	LIM
P161515	2	2,5	LIM
P161515	2,5	3	LIM
P161515	3	3,5	LIM
P161515	3,5	4	SAP
P161515	4	5	SAP
P161515	5	6	SAP
P161515	6	7	SAP
P161515	7	8	SAP
P161515	8	9	SAP
P161515	9	10	SAP
P161515	10	11	SAP
P161515	11	12	SAP
P161515	12	13	SAP
P161515	13	14	SAP
P161515	14	15	SAP
P161515	15	16	SAP
P161515	16	17	SAP
P161515	17	18	SAP
P161515	18	19	SAP

<i>Hole Id</i>	<i>From (m)</i>	<i>To (m)</i>	<i>Lithology</i>
P161515	19	20	SAP
P161515	20	21	BRK
P161715	0	1	LIM
P161715	1	2	LIM
P161715	2	3	LIM
P161715	3	4	LIM
P161715	4	5	LIM
P161715	5	6	LIM
P161715	6	7	LIM
P161715	7	8	LIM
P161715	8	9	LIM
P161715	9	10	LIM
P161715	10	11	LIM
P161715	11	12	LIM
P161715	12	13	LIM
P161715	13	14	LIM
P161715	14	15	LIM
P161715	15	16	LIM
P161715	16	17	LIM
P161715	17	18	SAP
P161715	18	19	SAP
P161715	19	20	SAP
P161715	20	21	SAP
P161715	21	22	SAP
P161715	22	23	SAP
P161715	23	24	SAP
P161715	24	25	SAP
P161715	25	26	SAP
P161715	26	27	SAP
P161715	27	28	SAP
P161715	28	29	SAP
P161715	29	30	SAP
P161715	30	31	SAP
P161715	31	32	SAP
P161715	32	33	SAP
P161715	33	34	SAP
P161715	34	35	SAP
P161717	0	1	LIM
P161717	1	2	LIM
P161717	2	2,55	SAP
P161717	2,55	3	SAP
P161717	3	4	SAP
P161717	4	4,5	SAP
P161717	4,5	5	SAP

<i>Hole Id</i>	<i>From (m)</i>	<i>To (m)</i>	<i>Lithology</i>
P161717	5	6	BRK
P161717	6	7	BRK
P161919	0	1	LIM
P161919	1	2	LIM
P161919	2	3	LIM
P161919	3	3,3	SAP
P161919	3,3	4	SAP
P161919	4	5	SAP
P161919	5	6	SAP
P161919	6	7	SAP
P161919	7	8	SAP
P161919	8	9	SAP
P161919	9	9,45	SAP
P161919	9,45	10	SAP
P161919	10	11	SAP
P161919	11	11,5	SAP
P161919	11,5	12	SAP
P161919	12	13	SAP
P161919	13	13,4	SAP
P161919	13,4	14	SAP
P161919	14	15	SAP
P161919	15	16	SAP
P161919	16	17	SAP
P161919	17	18	SAP
P161919	18	19	BRK
P161919	19	20	BRK
P162319	0	1	LIM
P162319	1	2	LIM
P162319	2	3	LIM
P162319	3	4	LIM
P162319	4	5	LIM
P162319	5	6	LIM
P162319	6	7	LIM
P162319	7	8	LIM
P162319	8	9	LIM
P162319	9	10	LIM
P162319	10	11	LIM
P162319	11	12	LIM
P162319	12	12,4	LIM
P162319	12,4	13	SAP
P162319	13	14	SAP
P162319	14	15	SAP
P162319	15	15,4	SAP
P162319	15,4	16	SAP

<i>Hole Id</i>	<i>From (m)</i>	<i>To (m)</i>	<i>Lithology</i>
P162319	16	17	SAP
P162319	17	18	SAP
P162319	18	19	SAP
P162319	19	19,4	SAP
P162319	19,4	20	SAP
P162319	20	21	SAP
P162319	21	22	SAP
P162319	22	23	SAP
P162319	23	24	SAP
P162319	24	25	SAP
P162319	25	26	SAP
P162519	0	1	LIM
P162519	1	2	LIM
P162519	2	3	LIM
P162519	3	4	LIM
P162519	4	5	LIM
P162519	5	6	LIM
P162519	6	7	LIM
P162519	7	8	LIM
P162519	8	9	LIM
P162519	9	10	LIM
P162519	10	11	LIM
P162519	11	11,4	LIM
P162519	11,4	12	LIM
P162519	12	13	LIM
P162519	13	13,5	LIM
P162519	13,5	14	LIM
P162519	14	15	LIM
P162519	15	16	SAP
P162519	16	17	SAP
P162519	17	18	SAP
P162519	18	18,5	SAP
P162519	18,5	19	SAP
P162519	19	20	SAP
P162519	20	20,5	SAP
P162519	20,5	21	SAP
P162519	21	22	SAP
P162519	22	23	SAP
P162519	23	24	SAP
P162519	24	25	SAP
P162519	25	26	SAP
P162519	26	27	SAP
P162519	27	28	SAP
P162519	28	29	SAP

<i>Hole Id</i>	<i>From (m)</i>	<i>To (m)</i>	<i>Lithology</i>
P162519	29	30	SAP
P162519	30	31	BRK
P162519	31	32	BRK
P162519	32	33	BRK
P162719	0	1	LIM
P162719	1	2	LIM
P162719	2	3	LIM
P162719	3	4	LIM
P162719	4	5	SAP
P162719	5	6	SAP
P162719	6	7	SAP
P162719	7	8	SAP
P162719	8	8,4	SAP
P162719	8,4	9	SAP
P162719	9	10	SAP
P162719	10	11	BRK
P162719	11	12	BRK
P162521	0	1	LIM
P162521	1	2	LIM
P162521	2	3	LIM
P162521	3	4	LIM
P162521	4	5	LIM
P162521	5	6	LIM
P162521	6	7	SAP
P162521	7	8	SAP
P162521	8	9	SAP
P162521	9	10	SAP
P162521	10	11	SAP
P162521	11	11,6	SAP
P162521	11,6	12	SAP
P162521	12	12,5	SAP
P162521	12,5	13	SAP
P162521	13	13,7	SAP
P162521	13,7	14	SAP
P162521	14	15	SAP
P162521	15	16	SAP
P162521	16	17	SAP
P162521	17	18	SAP
P162521	18	19	SAP
P162521	19	20	SAP
P162521	20	21	SAP
P162521	21	22	SAP
P162521	22	23	SAP
P162521	23	24	SAP

<i>Hole Id</i>	<i>From (m)</i>	<i>To (m)</i>	<i>Lithology</i>
P162521	24	25	SAP
P162521	25	26	SAP
P162521	26	27	SAP
P162521	27	28	SAP
P162521	28	29	SAP
P162521	29	30	SAP
P162521	30	31	SAP
P162521	31	32	SAP
P162521	32	33	SAP
P162521	33	34	BRK
P162521	34	35	BRK
P162321	0	0,6	LIM
P162321	0,6	1	LIM
P162321	1	2	LIM
P162321	2	3	LIM
P162321	3	3,5	LIM
P162321	3,5	4	SAP
P162321	4	5	SAP
P162321	5	6	SAP
P162321	6	7	SAP
P162321	7	8	SAP
P162321	8	9	SAP
P162321	9	9,7	SAP
P162321	9,7	10	SAP
P162321	10	11	SAP
P162321	11	11,5	SAP
P162321	11,5	12	SAP
P162321	12	13	SAP
P162321	13	13,3	SAP
P162321	13,3	14	SAP
P162321	14	15	SAP
P162321	15	16	SAP
P162321	16	17	SAP
P162321	17	18	SAP
P162321	18	19	SAP
P162321	19	20	SAP
P162321	20	21	BRK
P162321	21	22	BRK
P162321	22	23	BRK
P162317	0	1	LIM
P162317	1	2	LIM
P162317	2	3	LIM
P162317	3	3,4	SAP
P162317	3,4	4	SAP

<i>Hole Id</i>	<i>From (m)</i>	<i>To (m)</i>	<i>Lithology</i>
P162317	4	5	SAP
P162317	5	5,5	SAP
P162317	5,5	6	SAP
P162317	6	7	SAP
P162317	7	8	BRK
P162317	8	9	BRK
P162317	9	10	BRK
P162515	0	1	LIM
P162515	1	2	SAP
P162515	2	3	SAP
P162515	3	4	SAP
P162515	4	5	SAP
P162515	5	6	SAP
P162515	6	7	SAP
P162515	7	8	SAP
P162515	8	9	SAP
P162515	9	10	SAP
P162125	0	0,3	SAP
P162125	0,3	1	LIM
P162125	1	1,6	LIM
P162125	1,6	2	SAP
P162125	2	3	SAP
P162125	3	4	SAP
P162125	4	5	SAP
P162125	5	6	SAP
P162125	6	7	SAP
P162125	7	8	SAP
P162125	8	8,5	SAP
P162125	8,5	9	SAP
P162125	9	10	SAP
P162125	10	11	BRK
P162125	11	12	BRK
P162125	12	13	BRK
P162125	13	13,7	BRK
P162717	0	1	LIM
P162717	1	2	LIM
P162717	2	3	LIM
P162717	3	4	SAP
P162717	4	5	SAP
P162717	5	6	SAP
P162717	6	7	SAP
P162717	7	8	SAP
P162717	8	9	SAP
P162717	9	10	SAP

<i>Hole Id</i>	<i>From (m)</i>	<i>To (m)</i>	<i>Lithology</i>
P162717	10	11	SAP
P162717	11	12	SAP
P162717	12	13	SAP
P162717	13	14	BRK
P162717	14	15	BRK
P162917	0	1	LIM
P162917	1	2	LIM
P162917	2	3	LIM
P162917	3	4	LIM
P162917	4	5	SAP
P162917	5	6	SAP
P162917	6	7	SAP
P162917	7	8	SAP
P162917	8	9	SAP
P162917	9	10	SAP
P162917	10	11	SAP
P162917	11	12	SAP
P162917	12	13	BRK
P162917	13	14	BRK
P162517	0	1	LIM
P162517	1	2	LIM
P162517	2	3	LIM
P162517	3	3,4	SAP
P162517	3,4	4	SAP
P162517	4	5	SAP
P162517	5	6	SAP
P162517	6	6,5	SAP
P162517	6,5	7	SAP
P162517	7	8	SAP
P162517	8	9	SAP
P162517	9	10	SAP
P162517	10	11	SAP
P162517	11	12	SAP
P162517	12	13	SAP
P162517	13	14	SAP
P162517	14	15	BRK
P162517	15	16	BRK
P162517	16	17	BRK
P162517	17	18	BRK
P162517	18	19	BRK
P162123	0	1	LIM
P162123	1	2	LIM
P162123	2	2,4	LIM
P162123	2,4	3	SAP

<i>Hole Id</i>	<i>From (m)</i>	<i>To (m)</i>	<i>Lithology</i>
P162123	3	3,3	SAP
P162123	3,3	4	SAP
P162123	4	5	SAP
P162123	5	6	SAP
P162123	6	7	BRK
P162123	7	8	BRK
P162123	8	9	BRK
P162123	9	10	BRK
P162919	0	1	LIM
P162919	1	2	LIM
P162919	2	3	LIM
P162919	3	4	LIM
P162919	4	5	LIM
P162919	5	6	LIM
P162919	6	7	LIM
P162919	7	8	LIM
P162919	8	9	LIM
P162919	9	10	SAP
P162919	10	11	SAP
P162919	11	12	SAP
P162919	12	13	BRK
P162919	13	14	BRK
P162919	14	15	BRK
P161925	0	1	LIM
P161925	1	1,3	LIM
P161925	1,3	1,65	LIM
P161925	1,65	2	SAP
P161925	2	3	SAP
P161925	3	4	SAP
P161925	4	5	SAP
P161925	5	5,4	SAP
P161925	5,4	6	SAP
P161925	6	7	SAP
P161925	7	7,5	SAP
P161925	7,5	8	SAP
P161925	8	9	SAP
P161925	9	10	BRK
P161925	10	11	BRK
P161925	11	12	BRK
P161921	0	1	LIM
P161921	1	2	LIM
P161921	2	3	LIM
P161921	3	4	LIM
P161921	4	5	LIM

<i>Hole Id</i>	<i>From (m)</i>	<i>To (m)</i>	<i>Lithology</i>
P161921	5	6	LIM
P161921	6	7	LIM
P161921	7	8	SAP
P161921	8	8,5	SAP
P161921	8,5	9	SAP
P161921	9	10	SAP
P161921	10	11	SAP
P161921	11	12	SAP
P161921	12	13	SAP
P161921	13	14	SAP
P161921	14	15	SAP
P161921	15	16	SAP
P161921	16	17	SAP
P161921	17	18	SAP
P161921	18	19	SAP
P161921	19	20	SAP
P161923	0	1	LIM
P161923	1	2	LIM
P161923	2	3	LIM
P161923	3	4	SAP
P161923	4	5	SAP
P161923	5	6	SAP
P161923	6	7	SAP
P161923	7	8	SAP
P161923	8	9	SAP
P161923	9	10	SAP
P161923	10	11	SAP
P161923	11	11,5	SAP
P161923	11,5	12	SAP
P161923	12	13	SAP
P161923	13	14	SAP
P161725	0	1	LIM
P161725	1	2	LIM
P161725	2	2,5	LIM
P161725	2,5	3	SAP
P161725	3	4	SAP
P161725	4	5	SAP
P161725	5	6	SAP
P161725	6	7	SAP
P161725	7	8	SAP
P161725	8	9	SAP
P161725	9	10	SAP
P161725	10	11	SAP
P161725	11	12	SAP

<i>Hole Id</i>	<i>From (m)</i>	<i>To (m)</i>	<i>Lithology</i>
P161725	12	13	BRK
P161725	13	14	BRK
P161725	14	15	BRK
P161723	0	1	LIM
P161723	1	2	LIM
P161723	2	3	LIM
P161723	3	4	LIM
P161723	4	5	LIM
P161723	5	6	LIM
P161723	6	7	LIM
P161723	7	8	LIM
P161723	8	9	LIM
P161723	9	10	LIM
P161723	10	11	SAP
P161723	11	12	SAP
P161723	12	13	SAP
P161723	13	14	SAP
P161723	14	15	SAP
P161723	15	16	SAP
P161723	16	17	SAP
P161723	17	18	SAP
P161723	18	18,5	SAP
P161723	18,5	19	SAP
P161723	19	20	SAP
P161723	20	21	SAP
P161723	21	22	SAP
P161723	22	23	SAP
P161723	23	24	SAP
P161721	0	1	LIM
P161721	1	2	LIM
P161721	2	3	LIM
P161721	3	4	LIM
P161721	4	5	LIM
P161721	5	6	LIM
P161721	6	7	LIM
P161721	7	8	LIM
P161721	8	9	LIM
P161721	9	10	LIM
P161721	10	11	SAP
P161721	11	12	SAP
P161721	12	13	SAP
P161721	13	14	SAP
P161721	14	15	SAP
P161721	15	15,5	SAP

<i>Hole Id</i>	<i>From (m)</i>	<i>To (m)</i>	<i>Lithology</i>
P161721	15,5	16	SAP
P161721	16	17	SAP
P161721	17	18	SAP
P161721	18	19	SAP
P161721	19	20	SAP
P161721	20	21	SAP
P161527	0	1	LIM
P161527	1	2	LIM
P161527	2	3	LIM
P161527	3	4	LIM
P161527	4	5	LIM
P161527	5	6	LIM
P161527	6	7	LIM
P161527	7	7,7	SAP
P161527	7,7	8	SAP
P161527	8	9	SAP
P161527	9	10	SAP
P161527	10	11	SAP
P161527	11	12	SAP
P161527	12	13	SAP
P161527	13	14	SAP
P161527	14	15	SAP
P161527	15	16	SAP
P161527	16	17	SAP
P161527	17	17,5	SAP
P161527	17,5	18	SAP
P161527	18	19	SAP
P161527	19	20	SAP
P161527	20	21	SAP
P161527	21	21,3	SAP
P161527	21,3	22	BRK
P161527	22	23	BRK
P161527	23	24	BRK
P161519	0	1	LIM
P161519	1	2	LIM
P161519	2	3	LIM
P161519	3	4	LIM
P161519	4	5	LIM
P161519	5	6	LIM
P161519	6	6,5	SAP
P161519	6,5	7	SAP
P161519	7	8	SAP
P161519	8	9	SAP
P161519	9	10	SAP

<i>Hole Id</i>	<i>From (m)</i>	<i>To (m)</i>	<i>Lithology</i>
P161519	10	11	SAP
P161519	11	12	SAP
P161519	12	13	SAP
P161519	13	14	SAP
P161519	14	15	SAP
P161519	15	16	SAP
P161519	16	17	SAP
P161519	17	18	SAP
P161519	18	19	SAP
P161519	19	20	SAP
P161519	20	21	SAP
P161519	21	22	SAP
P161519	22	23	BRK
P161519	23	24	BRK
P161519	24	25	BRK
P161727	0	1	LIM
P161727	1	2	LIM
P161727	2	2,25	LIM
P161727	2,25	3	SAP
P161727	3	3,3	SAP
P161727	3,3	4	SAP
P161727	4	5	SAP
P161727	5	6	SAP
P161727	6	7	SAP
P161727	7	8	BRK
P161727	8	9	BRK
P161727	9	10	BRK
P161319	0	1	LIM
P161319	1	2	LIM
P161319	2	3	LIM
P161319	3	4	LIM
P161319	4	5	LIM
P161319	5	6	LIM
P161319	6	7	LIM
P161319	7	8	LIM
P161319	8	8,5	SAP
P161319	8,5	9	SAP
P161319	9	10	SAP
P161319	10	11	SAP
P161319	11	12	SAP
P161319	12	13	SAP
P161319	13	14	SAP
P161319	14	15	SAP
P161319	15	16	SAP

<i>Hole Id</i>	<i>From (m)</i>	<i>To (m)</i>	<i>Lithology</i>
P161319	16	17	SAP
P161319	17	18	BRK
P161319	18	19	BRK
P161319	19	20	BRK
P161319	20	21	BRK
P161927	0	0,3	LIM
P161927	0,3	0,6	SAP
P161927	0,6	1	SAP
P161927	1	2	SAP
P161927	2	3	SAP
P161927	3	3,5	SAP
P161927	3,5	4	SAP
P161927	4	4,5	SAP
P161927	4,5	5	SAP
P161927	5	6	SAP
P161927	6	7	SAP
P161927	7	8	BRK
P161927	8	9	BRK
P161927	9	10	BRK
P161317	0	1	LIM
P161317	1	2	LIM
P161317	2	3	LIM
P161317	3	4	LIM
P161317	4	5	LIM
P161317	5	6	LIM
P161317	6	7	LIM
P161317	7	8	LIM
P161317	8	9	SAP
P161317	9	10	SAP
P161317	10	11	SAP
P161317	11	12	SAP
P161317	12	12,6	SAP
P161317	12,6	13	SAP
P161317	13	14	SAP
P161317	14	15	SAP
P161317	15	16	SAP
P161317	16	17	SAP
P161317	17	18	BRK
P161317	18	19	BRK
P161525	0	1	LIM
P161525	1	2	LIM
P161525	2	3	LIM
P161525	3	4	SAP
P161525	4	4,5	SAP

<i>Hole Id</i>	<i>From (m)</i>	<i>To (m)</i>	<i>Lithology</i>
P161525	4,5	5	SAP
P161525	5	6	SAP
P161525	6	7	SAP
P161525	7	8	SAP
P161525	8	9	SAP
P161525	9	10	SAP
P161525	10	11	BRK
P161525	11	12	BRK
P161525	12	13	BRK
P161315	0	1	LIM
P161315	1	1,6	LIM
P161315	1,6	2	SAP
P161315	2	3	SAP
P161315	3	4	SAP
P161315	4	5	SAP
P161315	5	6	SAP
P161315	6	7	SAP
P161315	7	8	BRK
P161315	8	9	BRK
P161315	9	10	BRK
P161517	0	1	LIM
P161517	1	2	LIM
P161517	2	3	LIM
P161517	3	4	SAP
P161517	4	5	SAP
P161517	5	6	SAP
P161517	6	7	SAP
P161115	0	1	LIM
P161115	1	2	LIM
P161115	2	3	SAP
P161115	3	4	BRK
P161115	4	5	BRK
P161115	5	6	BRK
P161113	0	1	LIM
P161113	1	2	LIM
P161113	2	3	LIM
P161113	3	4	LIM
P161113	4	5	LIM
P161113	5	6	SAP
P161113	6	7	BRK
P161113	7	8	BRK
P161113	8	9	BRK
P161325	0	1	LIM
P161325	1	2	LIM

<i>Hole Id</i>	<i>From (m)</i>	<i>To (m)</i>	<i>Lithology</i>
P161325	2	3	LIM
P161325	3	4	SAP
P161325	4	4,4	SAP
P161325	4,4	5	SAP
P161325	5	6	SAP
P161325	6	6,7	SAP
P161325	6,7	7	SAP
P161325	7	8	SAP
P161325	8	9	SAP
P161325	9	10	SAP
P161323	0	1	LIM
P161323	1	2	LIM
P161323	2	3	LIM
P161323	3	4	LIM
P161323	4	4,5	SAP
P161323	4,5	5	SAP
P161323	5	6	SAP
P161323	6	7	SAP
P161323	7	8	SAP
P161323	8	9	SAP
P161323	9	10	SAP
P161323	10	11	SAP
P161323	11	11,5	SAP
P161323	11,5	12	SAP
P161323	12	13	SAP
P161323	13	14	SAP
P161323	14	15	SAP
P161323	15	16	SAP
P161323	16	17	SAP
P161127	0	1	LIM
P161127	1	2	LIM
P161127	2	3	LIM
P161127	3	4	LIM
P161127	4	5	LIM
P161127	5	6	LIM
P161127	6	7	SAP
P161127	7	8	SAP
P161127	8	9	SAP
P161127	9	10	SAP
P161127	10	11	SAP
P161127	11	12	SAP
P161127	12	13	SAP
P161127	13	14	SAP
P161127	14	15	SAP

<i>Hole Id</i>	<i>From (m)</i>	<i>To (m)</i>	<i>Lithology</i>
P161127	15	16	SAP
P161127	16	17	SAP
P161127	17	18	SAP
P161327	0	1	LIM
P161327	1	2	LIM
P161327	2	3	LIM
P161327	3	4	LIM
P161327	4	5	LIM
P161327	5	6	LIM
P161327	6	7	LIM
P161327	7	8	LIM
P161327	8	9	LIM
P161327	9	10	LIM
P161327	10	11	LIM
P161327	11	12	LIM
P161327	12	13	LIM
P161327	13	14	LIM
P161327	14	15	LIM
P161327	15	16	LIM
P161327	16	17	LIM
P161327	17	18	LIM
P161327	18	19	LIM
P161327	19	20	SAP
P161327	20	21	SAP
P161327	21	22	SAP
P161327	22	23	SAP
P161331	0	1	LIM
P161331	1	2	LIM
P161331	2	3	LIM
P161331	3	4	LIM
P161331	4	5	LIM
P161331	5	6	LIM
P161331	6	7	LIM
P161331	7	8	SAP
P161331	8	9	SAP
P161331	9	10	SAP
P161331	10	11	SAP
P161331	11	12	SAP
P161331	12	13	SAP
P161331	13	14	SAP
P161331	14	15	SAP
P161331	15	16	SAP
P161331	16	17	SAP
P161331	17	18	BRK

<i>Hole Id</i>	<i>From (m)</i>	<i>To (m)</i>	<i>Lithology</i>
P161331	18	19	BRK
P161331	19	20	BRK
P161329R	0	1	LIM
P161329R	1	2	LIM
P161329R	2	3	LIM
P161329R	3	4	LIM
P161329R	4	5	LIM
P161329R	5	6	LIM
P161329R	6	7	LIM
P161329R	7	8	SAP
P161329R	8	9	SAP
P161329R	9	10	SAP
P161329R	10	11	SAP
P161329R	11	12	SAP
P161329R	12	13	SAP
P161329R	13	14	SAP
P161329R	14	15	SAP
P161329R	15	15,5	SAP
P161329R	15,5	16	SAP
P161329R	16	17	SAP
P161329R	17	18	SAP
P161329R	18	19	SAP
P161329R	19	20	BRK
P161329R	20	21	BRK
P161329R	21	22	BRK
P160920	0	1	LIM
P160920	1	2	LIM
P160920	2	3	LIM
P160920	3	4	LIM
P160920	4	5	LIM
P160920	5	6	SAP
P160920	6	7	SAP
P160920	7	8	SAP
P160920	8	9	SAP
P160920	9	10	SAP
P160920	10	11	BRK
P160920	11	12	BRK
P160920	12	13	BRK
P161020	0	1	LIM
P161020	1	2	LIM
P161020	2	3	LIM
P161020	3	4	LIM
P161020	4	5	LIM
P161020	5	6	LIM

<i>Hole Id</i>	<i>From (m)</i>	<i>To (m)</i>	<i>Lithology</i>
P161020	6	7	SAP
P161020	7	8	SAP
P161020	8	9	SAP
P161020	9	10	SAP
P161020	10	11	SAP
P161020	11	12	BRK
P161020	12	13	BRK
P161020	13	14	BRK
P161120	0	1	LIM
P161120	1	2	LIM
P161120	2	3	LIM
P161120	3	4	LIM
P161120	4	5	LIM
P161120	5	6	SAP
P161120	6	7	SAP
P161120	7	8	SAP
P161120	8	9	BRK
P161120	9	10	BRK
P161220	0	1	LIM
P161220	1	2	LIM
P161220	2	3	SAP
P161220	3	4	SAP
P161220	4	5	SAP
P161220	5	6	SAP
P161220	6	7	SAP
P161220	7	8	SAP
P161220	8	9	SAP
P161220	9	10	SAP
P161220	10	11	SAP
P161220	11	12	SAP
P161220	12	13	SAP
P161220	13	14	SAP
P161220	14	15	SAP
P161220	15	16	SAP
P161220	16	17	SAP
P161220	17	18	SAP
P161220	18	19	SAP
P161220	19	20	SAP
P161219	0	1	LIM
P161219	1	2	LIM
P161219	2	3	LIM
P161219	3	4	LIM
P161219	4	5	LIM
P161219	5	6	LIM

<i>Hole Id</i>	<i>From (m)</i>	<i>To (m)</i>	<i>Lithology</i>
P161219	6	7	LIM
P161219	7	8	LIM
P161219	8	9	LIM
P161219	9	10	LIM
P161219	10	11	LIM
P161219	11	12	SAP
P161219	12	13	SAP
P161219	13	14	SAP
P161219	14	15	SAP
P161219	15	16	SAP
P161219	16	17	SAP
P161219	17	18	SAP
P161219	18	19	SAP
P161219	19	20	SAP
P161219	20	21	SAP
P161219	21	22	SAP
P161219	22	23	SAP
P161219	23	24	SAP
P161219	24	25	SAP
P161219	25	26	SAP
P161219	26	27	BRK
P161219	27	28	BRK
P161118	0	1	LIM
P161118	1	2	LIM
P161118	2	3	LIM
P161118	3	4	LIM
P161118	4	5	LIM
P161118	5	6	LIM
P161118	6	7	LIM
P161118	7	8	LIM
P161118	8	9	LIM
P161118	9	10	LIM
P161118	10	11	LIM
P161118	11	12	SAP
P161118	12	13	SAP
P161118	13	14	SAP
P161118	14	15	BRK
P161118	15	16	BRK
P161118	16	17	BRK
P161218	0	1	LIM
P161218	1	2	LIM
P161218	2	3	LIM
P161218	3	4	LIM
P161218	4	5	LIM

<i>Hole Id</i>	<i>From (m)</i>	<i>To (m)</i>	<i>Lithology</i>
P161218	5	6	LIM
P161218	6	7	LIM
P161218	7	8	LIM
P161218	8	9	LIM
P161218	9	10	LIM
P161218	10	11	SAP
P161218	11	12	SAP
P161218	12	13	SAP
P161218	13	14	BRK
P161318	0	1	LIM
P161318	1	2	LIM
P161318	2	3	LIM
P161318	3	4	LIM
P161318	4	5	LIM
P161318	5	6	LIM
P161318	6	7	LIM
P161318	7	8	LIM
P161318	8	9	LIM
P161318	9	10	LIM
P161318	10	11	SAP
P161318	11	12	SAP
P161318	12	13	SAP
P161318	13	14	SAP
P161318	14	15	BRK
P161318	15	16	BRK
P161419	0	1	LIM
P161419	1	2	LIM
P161419	2	3	LIM
P161419	3	4	LIM
P161419	4	5	LIM
P161419	5	6	LIM
P161419	6	7	LIM
P161419	7	8	LIM
P161419	8	9	LIM
P161419	9	10	LIM
P161419	10	11	LIM
P161419	11	12	LIM
P161419	12	13	SAP
P161419	13	14	SAP
P161419	14	15	SAP
P161419	15	16	SAP
P161419	16	17	SAP
P161419	17	18	SAP
P161419	18	19	SAP

<i>Hole Id</i>	<i>From (m)</i>	<i>To (m)</i>	<i>Lithology</i>
P161419	19	20	SAP
P161419	20	21	BRK
P161419	21	22	BRK
P161418	0	1	LIM
P161418	1	2	LIM
P161418	2	3	LIM
P161418	3	4	LIM
P161418	4	5	LIM
P161418	5	6	LIM
P161418	6	7	LIM
P161418	7	8	LIM
P161418	8	9	SAP
P161418	9	10	SAP
P161418	10	11	SAP
P161418	11	12	SAP
P161418	12	13	SAP
P161418	13	14	SAP
P161418	14	15	SAP
P161418	15	16	SAP
P161418	16	17	BRK
P161418	17	18	BRK
P161418	18	19	BRK
P161418	19	20	BRK
P161221	0	1	LIM
P161221	1	2	LIM
P161221	2	3	LIM
P161221	3	4	LIM
P161221	4	5	LIM
P161221	5	6	LIM
P161221	6	7	LIM
P161221	7	8	LIM
P161221	8	9	LIM
P161221	9	10	SAP
P161221	10	11	SAP
P161221	11	12	SAP
P161518	0	1	LIM
P161518	1	2	LIM
P161518	2	3	LIM
P161518	3	4	LIM
P161518	4	5	LIM
P161518	5	6	SAP
P161518	6	7	SAP
P161518	7	8	SAP
P161518	8	9	SAP

<i>Hole Id</i>	<i>From (m)</i>	<i>To (m)</i>	<i>Lithology</i>
P161518	9	10	BRK
P161518	10	11	BRK
P161518	11	12	BRK
P161618	0	1	LIM
P161618	1	2	LIM
P161618	2	3	LIM
P161618	3	4	LIM
P161618	4	5	LIM
P161618	5	6	LIM
P161618	6	7	SAP
P161618	7	8	SAP
P161618	8	9	SAP
P161618	9	10	SAP
P161618	10	11	SAP
P161618	11	12	SAP
P161618	12	13	SAP
P161618	13	14	SAP
P161618	14	15	SAP
P161618	15	16	SAP
P161618	16	17	SAP
P161618	17	18	SAP
P161618	18	19	SAP
P161618	19	20	SAP
P161618	20	21	SAP
P161618	21	22	BRK
P161618	22	23	BRK
P161619	0	1	LIM
P161619	1	2	LIM
P161619	2	3	LIM
P161619	3	4	LIM
P161619	4	5	LIM
P161619	5	6	SAP
P161619	6	7	SAP
P161619	7	8	SAP
P161619	8	9	SAP
P161619	9	10	SAP
P161619	10	11	SAP
P161619	11	12	SAP
P161619	12	13	SAP
P161619	13	14	SAP
P161619	14	15	BRK
P161619	15	16	BRK

LAMPIRAN I
DATA *SURVEY*

LAMPIRAN I
DATA SURVEY

<i>Hole Id</i>	<i>Depth (m)</i>	<i>Dip</i>	<i>Azimuth</i>
P161915	16	-90	0
P161515	21	-90	0
P161715	35	-90	0
P161717	7	-90	0
P161919	20	-90	0
P162319	26	-90	0
P162519	33	-90	0
P162719	12	-90	0
P162521	35	-90	0
P162321	23	-90	0
P162317	10	-90	0
P162515	10	-90	0
P162125	13,7	-90	0
P162717	15	-90	0
P162917	14	-90	0
P162517	19	-90	0
P162123	10	-90	0
P162919	15	-90	0
P161925	12	-90	0
P161921	20	-90	0
P161923	14	-90	0
P161725	15	-90	0
P161723	24	-90	0
P161721	21	-90	0
P161527	24	-90	0
P161519	25	-90	0
P161727	10	-90	0
P161319	21	-90	0
P161927	10	-90	0
P161317	19	-90	0
P161525	13	-90	0
P161315	10	-90	0
P161517	7	-90	0
P161115	6	-90	0
P161113	9	-90	0
P161325	10	-90	0
P161323	17	-90	0
P161127	18	-90	0
P161327	23	-90	0
P161331	20	-90	0
P161329R	22	-90	0
P160920	13	-90	0

<i>Hole Id</i>	<i>Depth (m)</i>	<i>Dip</i>	<i>Azimuth</i>
P161020	14	-90	0
P161120	10	-90	0
P161220	20	-90	0
P161219	28	-90	0
P161118	17	-90	0
P161218	14	-90	0
P161318	16	-90	0
P161419	22	-90	0
P161418	20	-90	0
P161221	12	-90	0
P161518	12	-90	0
P161618	23	-90	0
P161619	16	-90	0
P161320	21	-90	0
P161718	11	-90	0
P161818	15	-90	0
P161421	16	-90	0
P161420	14	-90	0
P161918	26	-90	0
P161520	14	-90	0
P162018	24	-90	0
P161620	18,5	-90	0
P162118	26	-90	0
P161621	16	-90	0
P161720	13	-90	0
P162019	17	-90	0
P161819	20	-90	0
P161227	29	-90	0
P161820	13	-90	0
P162219	15	-90	0
P162218	15	-90	0
P161920	21	-90	0
P161428	16	-90	0
P162318	25	-90	0
P162020	21	-90	0
P162419	25	-90	0
P162021	16	-90	0
P161528	23	-90	0
P161427	21	-90	0
P162520	22	-90	0
P162022	14	-90	0
P161922	15	-90	0
P161526	22	-90	0
P162420	15	-90	0

<i>Hole Id</i>	<i>Depth (m)</i>	<i>Dip</i>	<i>Azimuth</i>
P161822	22	-90	0
P162320	22	-90	0
P161821	15	-90	0
P161429	22,5	-90	0
P161722	28	-90	0
P162220	20	-90	0
P161625	23	-90	0
P161530	14,5	-90	0
P161624	25	-90	0
P161622	25	-90	0
P161630	11	-90	0
P162120	21	-90	0
P161623	23	-90	0
P161629	9	-90	0
P161823	11	-90	0
P161628	15	-90	0
P161824	8	-90	0
P161627	26	-90	0
P161417	18	-90	0
P161626	13,5	-90	0
P161416	13,5	-90	0
P161316	8	-90	0
P161216	15	-90	0
P161217	8	-90	0